

ศึกษาคุณสมบัติทางวิศวกรรมของศิลาแดงในเขตจังหวัดปราจีนบุรี

Engineering Characterization of Harden Laterite or Brickstone in the Prajeenburi province

นาย สุนทร สมประมัย

นาย โยธิน จันทกานนท์

โครงการทางวิศวกรรมนี้เป็นส่วนหนึ่งของการศึกษาคามหลักสูตรปริญญาวิศวกรรมศาสตรบัณฑิต

ภาควิชาวิศวกรรมโยธา คณะวิศวกรรมศาสตร์

มหาวิทยาลัยบูรพา

ปีการศึกษา 2552

Engineering Characterization of Hardened Laterite or Brickstone in the Prachinburi province

Mr. Sounton Sompamai

Mr. Yothin Chantakanon

An Engineering Project Submitted in Partial Fulfillment of Requirements

For the Degree of Bachelor of Engineering

Department of Civil Engineering

Burapha University

2009

โดย นาย สุนทร สมประมัย
นาย โยธิน จันทกานนท์
ภาควิชา วิศวกรรมโยธา
ปีการศึกษา 2552
อาจารย์ที่ปรึกษา ผศ. ประวัตี ตั้งศิริวัฒนากุล

ภาควิชาวิศวกรรมโยธา คณะวิศวกรรมศาสตร์ มหาวิทยาลัยบูรพา อนุมัติโครงการทาง
วิศวกรรมนี้เป็นส่วนหนึ่งของการศึกษาตามหลักสูตรปริญญาวิศวกรรมศาสตรบัณฑิต

.....หัวหน้าภาควิชาวิศวกรรมโยธา

(ผศ.ดร.อานนท์ วงษ์แก้ว)

.....อาจารย์ที่ปรึกษา

(ผศ. ประวัตี ตั้งศิริวัฒนากุล)

คณะกรรมการสอบโครงการ

.....ประธานกรรมการ

(ผศ. ประวัตี ตั้งศิริวัฒนากุล)

.....กรรมการ

(ดร. ชรรมนุญ รัศมีมาสเมือง)

.....กรรมการ

(อาจารย์ เอนก ชมวงษ์)

ลิขสิทธิ์ของมหาวิทยาลัยบูรพา

บทคัดย่อ

ศิลาแลง (Harden Laterite or Brickstone) เป็นวัสดุก่อสร้างที่ได้จากธรรมชาติ ในโครงการนี้จะศึกษาคุณสมบัติทางกายภาพและคุณสมบัติเชิงกลของศิลาแลงที่ได้จากแหล่งผลิตในจังหวัดปราจีนบุรี เพื่อใช้เป็นวัสดุก่อสร้างอาคารต่างๆ การทดสอบในห้องปฏิบัติการจะทดสอบหาค่าการดูดซึมน้ำของตัวอย่างศิลาแลงและทำการทดสอบหาค่ากำลังอัด (Compressive Strength) การทดสอบการค้ำ (Flexural Tests) และการทดสอบการเฉือน (Shear Strength) ของก้อนตัวอย่างทดลอง ในโครงการนี้จะเปรียบเทียบคุณสมบัติของศิลาแลงกับอิฐมอญและคอนกรีตบล็อก

คำสำคัญ : ศิลาแลง ; การดูดซึมน้ำ ; กำลังอัด ; กำลังค้ำ ; หน่วยแรงเฉือน

Abstract

Harden Laterite or Brickstone is a natural material. The object of this project is to study the physical properties and mechanical properties of the brickstone, which have been found in Prajin Buri Province, for using in building construction. The testing comprises water-absorbtion test, test for compressive strength, flexural test, and testing for shear-strength of brickstone specimens. And there will be the comparisons with the properties of clay bricks and concrete block

Keywords: harden laterite, water absorption, compressive strength, flexural strength, shear strength

มหาวิทยาลัยบูรพา
Burapha University

กิตติกรรมประกาศ

โครงการนี้สำเร็จได้ด้วย โดยการให้การปรึกษาของ ศศ.ประวัตี ตั้งศิริวัฒนากุล ซึ่งเป็นอาจารย์ที่ปรึกษาโครงการ ต้องขอขอบพระคุณอาจารย์ที่ปรึกษาดังกล่าวและขอขอบพระคุณภาควิชาวิศวกรรมโยธา ที่สนับสนุนการทำโครงการนี้ด้วยดีเสมอมา และขอขอบคุณเจ้าหน้าที่ผู้เกี่ยวข้องทุกท่านมา ณ ที่นี้

มหาวิทยาลัยบูรพา
Burapha University

สารบัญ

	หน้า
บทคัดย่อภาษาไทย	ก
บทคัดย่อภาษาอังกฤษ	ข
กิตติกรรมประกาศ	ค
สารบัญ	จ
สารบัญตาราง	ช
สารบัญรูปภาพ	ซ
บทที่ 1 บทนำ	1
1.1 ปัญหาและที่มา	1
1.2 วัตถุประสงค์	6
1.3 ขอบเขตและการศึกษา	6
1.4 เนื้อหาของโครงการ	6
1.5 ประโยชน์ที่คาดว่าจะได้รับ	7
1.6 แผนการดำเนินงาน	8
บทที่ 2 ทฤษฎีที่เกี่ยวข้อง	9
2.1 การเกิดของศิลาแดง (Harden laterite or Brickstone)	10
2.1.1 ศิลาแดงที่เกิดจากการสะสมอยู่กับที่ของหินในพื้นที่	10
2.1.2 ศิลาแดงที่เกิดจากการสะสมตะกอน	11
2.2 การทดสอบหาค่าการดูดซึมน้ำของศิลาแดง	12

สารบัญต่อ

	หน้า
2.3 การทดสอบหาค่าแรงอัดของศิลาแลง	12
2.4 การทดสอบหาค่าแรงค้ำของศิลาแลง	14
2.5 การทดสอบหาค่าแรงเฉือนของศิลาแลง	15
บทที่ 3 วิธีการทดสอบ	16
3.1 การทดสอบการดูดซึมน้ำของศิลาแลง	16
3.2 การทดสอบหาค่าแรงอัดของศิลาแลง	22
3.3 การทดสอบหาค่าแรงค้ำของศิลาแลง	37
3.4 การทดสอบหาค่าแรงเฉือนของศิลาแลง	43
บทที่ 4 ผลการทดสอบและวิเคราะห์ผลการทดลอง	48
4.1 ถิ่นตะทั่วไป	48
4.2 ศิลาแลงที่เกิดจากการสะสมตะกอน	48
4.3 การดูดซึมน้ำของศิลาแลง	49
4.4 การรับกำลังอัดของก้อนศิลาแลง	50
4.5 การหาค่าแรงค้ำของศิลาแลง	71
4.6 การหาค่าแรงเฉือนของศิลาแลง	73
4.7 การเปรียบเทียบกำลังอัดศิลาแลง กับวัสดุที่แตกต่างกัน	74
4.8 การรับกำลังของศิลาแลงในลักษณะที่ต่างกัน	75
บทที่ 5 สรุปผล	76

สารบัญตาราง

	หน้า
3.1 ตารางบันทึกผลการทดสอบ absorption	21
3.2 ตารางบันทึกผลการทดลองรายงานผลการทดสอบแรงอัด	25-36
3.3 บันทึกผลการทดลองแรงค้ำ	42
3.4 บันทึกผลการทดลองแรงเฉือน	47

มหาวิทยาลัยบูรพา
Burapha University

สารบัญรูปภาพ

รูปที่	หน้า
1.1ปราสาทขยาน-ประเทศกัมพูชา	1
1.2 พระพุทธรูปและเสาโบสถ์-วัดวัดมหาธาตุ อ.ศรีสัชนาลัย จ.สุโขทัย	1
1.3 St.Paul church	2
1.4 บ่อศิลาแลง สมณีก พึ่งมา 57 หมู่5 ตำบล ท่าคูม อำเภอศรีมหาโพธิ จังหวัดปราจีนบุรี	2
1.5 บ่อศิลาแลง สมณีก พึ่งมา 57 หมู่5 ตำบล ท่าคูม อำเภอศรีมหาโพธิ จังหวัดปราจีนบุรี รูปการแบ่งตัดก้อนศิลาแลง	3
1.6รูปบ้านผู้ใหญ่ สมศักดิ์ ปากน้ำ ผู้ใหญ่บ้านหมู่ที่ 2 ต.ท่าคูม อ. ศรีมหาโพธิ จ.ปราจีนบุรี	3
1.7 รูปบ้านเจ้าของบ่อ สมณีกพึ่งมา 57 หมู่ที่ 2 ต.ท่าคูม อ. ศรีมหาโพธิ จ.ปราจีนบุรี	4
1.8 รูปกำแพงวัดเขาดิน ต.ท่าคูม อ.ศรีมหาโพธิ จ. ปราจีนบุรี	7
2.1 ศิลาแลงเกิดขึ้นอยู่บนพื้นผิวของที่ราบสูงโคราช[3]	9
2.2 ลานศิลาแลงบนพื้นที่ราบ ที่พระพุทธบาทตากผ้า อำเภอป่าซาง จังหวัดลำพูน[3]	9
2.3 ศิลาแลง(แนวสี่เข้ม) เกิดขึ้นบนเนินที่มีความลาดเอียงเล็กน้อย ของตะพักกลุ่มน้ำระดับสูง อำเภองอมทองจังหวัดเชียงใหม่ [3]	9

สารบัญรูปภาพต่อ

รูปที่	หน้า
2.4 ศีลาแรงที่เกิดอยู่บนชั้นหินดินดานสลับกับหินปูนที่สุสานหอย ชายฝั่งทะเลบ้านแหลมโพธิ์ อำเภอเมือง จังหวัดกระบี่[3]	9
2.5 ลักษณะแรงต้านต่อการแตกด้านข้าง (Confining Stress) ของก้อนตัวอย่างรูปทรงลูกบาศก์	13
2.6 การให้น้ำหนักกระทำแบบ Center – Point Loading	14
2.7 การทดสอบแรงเฉือน โดยตรง (direct shear)	15
รูปวัสดุและอุปกรณ์ของการทดสอบค่าการดูดซึมน้ำของศิลาแลง	16-20
รูปวัสดุและอุปกรณ์ของการทดสอบค่ากำลังอัดของศิลาแลง	22-24
รูปวัสดุและอุปกรณ์ของการทดสอบค่ากำลังคัตของศิลาแลง	37-41
รูปวัสดุและอุปกรณ์ของการทดสอบค่ากำลังเฉือนคัตของศิลาแลง	43-46
4.1 เปรียบเทียบ % Absorption	49
รูปแสดงความสัมพันธ์ระหว่าง Stress กับ Strain	50-69
4.22 แสดงการเปรียบเทียบ Stress กับคอนกรีต,อิฐบล็อกและอิฐมอญ	74
4.23 เปรียบเทียบค่า Stress ของแต่ละผลการทดลอง	75

บทที่ 1

บทนำ

1.1 ปัญหาและที่มา

ในปัจจุบันการก่อสร้างได้เปลี่ยนวิวัฒนาการในการใช้วัสดุที่ทันสมัยจากยุค โบราณ เช่น โครงสร้างที่เป็น

คอนกรีตเสริมเหล็ก โครงสร้างที่เป็นเหล็ก คุณสมบัติที่นำมาใช้งานนี้ความสามารถทางวิศวกรรม เป็นที่ยอมรับแบบสากล วัสดุที่เราใช้ในการก่อสร้างทุกวันนี้ก็มีต้นทุนที่สูงเพราะในการผลิต มีกระบวนการที่ยังยากอย่างการถลุงเหล็กเพื่อนำมาเป็นเหล็กเสริมคอนกรีต หรือเพื่อนำมาใช้เป็น โครงสร้างเหล็ก

ด้วยเหตุนี้ถ้าเราก่อสร้างโดยใช้วัสดุตามท้องถิ่นที่มีวัสดุรองรับก็จะทำให้การก่อสร้างมี งบประมาณการก่อสร้างที่ลดลง ในยุคโบราณสิ่งก่อสร้างที่เราเห็นกันอยู่ทุกวันนี้ และยังมีโครงสร้างที่ แข็งแรง เราจะเห็นว่าวัสดุที่นำมาใช้งาน ก็เป็น หินศิลาแลง(Harden Laterite or Brickstone) และยัง พบว่า หินศิลาแลง(Harden Laterite or Brickstone) นี้มีใช้ตั้งแต่ในอดีต ไม่ได้ใช้แค่ประเทศไทยอย่าง เดียวต่างประเทศก็นำวัสดุนี้มาใช้ในการก่อสร้างเหมือนกัน

สิ่งก่อสร้างที่เราสามารถพบเห็นเช่น วัดมหาธาตุ อำเภอศรีสำราญ จังหวัดสุโขทัย ปราสาท บายน เป็นต้น

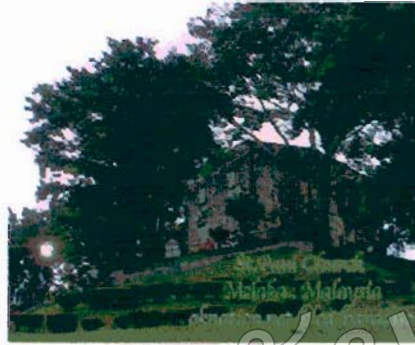


รูปที่ 1.1 ปราสาทบายน ประเทศกัมพูชา ใช้ศิลาแลง เป็นส่วนประกอบ ในการก่อสร้างโครงสร้างด้านใน ก่อนที่จะใช้หินทรายประดับด้านนอก



รูปที่ 1.2 ศิลาแลงใช้เป็นโครงสร้างของ พระพุทธรูป และเสาโบสถ์ก่อนโบกปูนทับ วัด มหาธาตุ อำเภอศรีสำราญ จังหวัดสุโขทัย

และที่พบเห็นที่เป็นสิ่งก่อสร้างของต่างประเทศ



รูปที่ 1.3 St.Paul church

ซึ่งจะเห็นว่าวัสดุที่เรียกว่า สิลาแลง (Harden Latente or Brickstone) นี้มีประโยชน์มากมาย ในงานก่อสร้างในยุคโบราณ ปัจจุบันก็นิยมนำสิลาแลงมาจัดเป็นสวน หรือปูทางเท้า ถ้าเราจะเอื้อมนำมาใช้ในการก่อสร้างที่พุกอ้าย จึงมีการศึกษาลักษณะทางวิศวกรรมเพิ่มเติม

แหล่งของสิลาแลงที่ได้ทำการศึกษาอยู่ในเขตของจังหวัดปราจีนบุรีและยังพบว่าแหล่งที่มีการผลิตวัตถุดิบสิลาแลงได้มีการนำสิลาแลงมาทำการก่อสร้างเป็นบ้านพักอาศัยมากมายไม่ได้นำมาเป็นวัสดุปูทางเท้าอย่างเดียวได้มีการนำมาทำเป็นวัสดุก่อสร้างบ้านเรือนอาคาร โดยการนำสิลาแลงมาก่อเป็นกำแพงบ้าน นำมาก่อ เป็นกำแพงวัด หรือ แม้แต่บ้านเรือนที่พุก

อ้าย



รูปที่ 1.4 บ่อสิลาแลง สมเน็ก เพิ่งมา 57 หมู่ 5 ตำบล ท่าคูม อำเภอศรีมหาโพธิ์ จังหวัดปราจีนบุรี



รูปที่ 1.5 ก้อนศิลาแลง สมบัติกึ่งเบรมา 57 หมู 5 ด้าบล ท่าตุม อ้ากอศรีมหาโพธิ จังหวัคปราจันบุรี รูปกรแบ่งตัด
ก้อนศิลาแลง



รูปที่ 1.6 บ้านผู้ใหญ่ สมศักดิ์ ป่าตน้ำ ผู้ใหญ่บ้านหมู่ที่ 2 ต.ท่าตุม อ. ศรีมหาโพธิ จ.ปราจันบุรี



รูปที่ 1.7 รูปบ้านเจ้าของบ่อ สมนึก เพิ่งมา 57 หมู่ที่ 2 ต.ท่าตม อ. สริมหาโพธิ์ จ.ปราจีนบุรี



รูปที่ 1.8 รูปกำแพงวัดเขาดิษ ต.ท่าตุ้ม อ.ศรีมหาโพธิ์ จ.ปราจีนบุรี

การศึกษาโครงการนี้ จะได้ทราบถึงลักษณะทางวิศวกรรมของศิลาแลงเพิ่มมากขึ้น และจะได้
ใช้ประโยชน์จากวัสดุที่มีอยู่แล้วได้อย่างเต็มประสิทธิภาพ และเลือกใช้ได้อย่างถูกต้อง

1.2 วัตถุประสงค์

เพื่อศึกษาเกี่ยวกับคุณสมบัติทางวิศวกรรมของศิลาแลงจากแหล่งที่มีอยู่ในจังหวัดปราจีนบุรี

1.3 ขอบเขตและการศึกษา

- ศึกษากำลังรับแรงอัดในแกนตั้งฉากของศิลาแลง ของจังหวัดปราจีนบุรี
- ศึกษาความสามารถการดูดซึมน้ำของศิลาแลง ของจังหวัดปราจีนบุรี
- ศึกษาความสามารถการรับแรงค้ำของศิลาแลง ของจังหวัดปราจีนบุรี
- ศึกษาความสามารถการรับแรงเฉือนของศิลาแลง ของจังหวัดปราจีนบุรี

1.4 เนื้อหาของโครงการ

- บทที่ 1 กล่าวถึงความเป็นมาของเหตุและผล ซึ่งเป็นแรงผลักดันให้เกิดโครงการการศึกษาศิลาแลง
- บทที่ 2 โครงการฉบับนี้ กล่าวถึงการเกิดของศิลาแลงและ การทดสอบกำลังอัด การทดสอบการดูดซึมน้ำรวมถึงทฤษฎีที่เกี่ยวข้องที่ใช้ในการคำนวณการทดลอง
- บทที่ 3 กล่าวถึงวัสดุอุปกรณ์ที่ใช้ในโครงการ ขั้นตอนการเตรียมตัวอย่าง รวมทั้งการทดสอบ
- บทที่ 4 กล่าวถึงผลของการทดสอบและการวิเคราะห์ผลการทดสอบ
- บทที่ 5 กล่าวถึงการสรุปผลการทดสอบและข้อเสนอแนะที่น่าสนใจ ซึ่งจะเป็นประโยชน์ในการเลือกใช้วัสดุ
- เอกสารอ้างอิง แสดงถึงผลงานวิจัยหรือบทความวิจัย หนังสือที่ได้อ้างอิงถึงในโครงการนี้
- ภาคผนวก แสดงถึงการรวบรวมผลการทดสอบที่ได้ทำการศึกษาทั้งหมด

1.5 ประโยชน์ที่คาดว่าจะได้รับ

1. ได้ทราบถึงคุณสมบัติทางวิศวกรรมของศิลาแลงจากแหล่งศิลาแลงในจังหวัดปราจีนบุรี
2. ได้เปรียบเทียบคุณสมบัติทางวิศวกรรมของศิลาแลงจากแหล่งศิลาแลงในจังหวัดปราจีนบุรี กับอิฐมอญ และอิฐบด็อคคอนกรีต

มหาวิทยาลัยบูรพา
Burapha University

1.6 แผนการ

ดำเนินงาน

มหาวิทยาลัยบูรพา
Burapha University

แผนการดำเนินงานประกอบตัวชี้วัดคุณต่างดังนี้									
ลำดับ	รายการ	ชั้นวคค.2552	มคก.คค.2553	กคก.คค.2553	ธคค.2553	มคค.2553	พคค.2553	กคค.2553	คคค.2553
1	ศึกษาและค้นคว้าศึกษาแดง ที่จะนำมาใช้ในงานวิจัยนี้
2	ศึกษาทฤษฎีและงานวิจัยที่เกี่ยวข้อง
3	กำหนดวัตถุประสงค์และขอบเขตการทำโครงการ
4	ออกแบบวิธีการทำการทดลอง
5	ทำการทดลองในห้องปฏิบัติการ
6	วิเคราะห์ผลการทดลอง
7	สรุปและวิจารณ์ผลการทดลอง
8	จัดทำงานนำเสนอโครงงาน
9	สอบเขียนปลายภาค

บทที่ 2

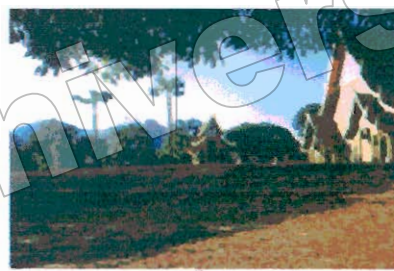
ทฤษฎีที่เกี่ยวข้อง

ในบทนี้จะกล่าวถึงลักษณะการเกิดศิลาแลง(Harden Laterite or Brickstone) แลงและอธิบายถึงสมการที่เกี่ยวข้องใช้คำนวณ ในการทดลองของศิลาแลงนี้

ศิลาแลง(Harden Laterite or Brickstone) จึงเป็นผลผลิตจากการเปลี่ยนแปลงสภาพของหินชนิดต่าง ๆ ซึ่งหินแต่ละชนิดที่อยู่ในธรณีสัณฐานต่างกัน ก็จะให้ลักษณะของศิลาแลงที่แตกต่างกันด้วย หินที่เป็นแหล่งกำเนิดศิลาแลง(Harden Laterite or Brickstone)ที่ดีมักจะมีส่วนประกอบของเหล็ก และอลูมิเนียมมาก เช่น หินบะซอลต์ หินแกรนิต หินชีสต์ หินดินดาน หินทรายสีแดง เป็นต้น[3]



รูปที่ 2.1 ศิลาแลงเกิดขึ้นอยู่บนพื้นผิวของที่ราบสูงโคราช [3]



รูปที่ 2.2 ถนนศิลาแลงบนพื้นที่ราบ ที่พระพุทธรูปทองคำ อำเภอป่าซาง จังหวัดลำพูน[3]



รูปที่ 2.3 ศิลาแลง(แนวสีเข้ม)เกิดขึ้นบนเนินที่มีความลาดเอียงเล็กน้อยของตะพักกลุ่มน้ำระดับสูง อำเภอจอมทอง จังหวัดเชียงใหม่ [3]



รูปที่ 2.4 ศิลาแลงที่เกิดขึ้นบนชั้นหินดินดานสลับกับหินปูนที่สุสานหอย ชายฝั่งทะเลบ้านแหลมโพธิ์ อำเภอเมือง จังหวัดกระบี่[3]

2.1 การเกิดของศิลาแลง (Harden Laterite or Brickstone)

ศิลาแลงเกิดขึ้นได้ในสภาพภูมิอากาศร้อนชื้น ฝนตกมาก แต่แสงแดดน้อยในฤดูฝนน้ำใต้ดินมีระดับสูง ทำให้ท่วมคอนบนของชั้นดิน (ซึ่งต่อไปกลายเป็นศิลาแลง) ระหว่างนั้น น้ำฝนจะละลายเอาสารประกอบอะลูมิเนียมออกไซด์เอาไว้เมื่อถึงหน้าแล้ง น้ำใต้ดินลดระดับต่ำลง ก็พาเอาสารประกอบอะลูมิเนียมลงไปสู่ที่

ต่ำ เวลานานเข้า วัสดุบริเวณด้านบนจึงมีสารประกอบเหล็กออกไซด์มากขึ้น และมักรวมกันเป็นกลุ่ม จึงเกิดเป็นโพรงว่างเป็นทางให้น้ำใต้ดินซึมขึ้นลงได้ง่ายขึ้น และชะสารประกอบอะลูมิเนียมออกไซด์ออกไปเร็วด้วย ทำให้ศิลาแลงมีลักษณะเด่น คือ มีรูพรุนทั่วไป และเนื้อเป็นสารประกอบเหล็กออกไซด์มากกว่าอะลูมิเนียมออกไซด์[2]

ศิลาแลงสามารถแบ่งตามกระบวนการเกิดได้เป็น 2 กลุ่มใหญ่ คือ

2.1.1. ศิลาแลงที่เกิดจากการพองตัวของหินในพื้นที่

ศิลาแลงที่เกิดจากการพองตัวของหินในพื้นที่ ประกอบด้วยชั้นที่สำคัญ คือ

- ชั้นดินคอนบนประกอบด้วยทราย ดินเหนียว และซากพืช จัดเป็นดินพื้นผิวโดยสารละลายของแร่เหล็กถูกชะล้างลงไปสะสมตัวชั้นล่าง

- สารละลายของแร่เหล็กและแมงกานีสออกไซด์ที่สะสมตัวเป็นชั้นแข็งจากการแกว่งไกวของระดับน้ำบาดาล และอาจจะจับตัวกันเป็นเม็ด มีรูปร่างมนจนถึงกลม มีขนาดต่าง ๆ กัน และเม็ดเหล่านี้อาจเชื่อมประสานเป็นแผ่นเดียวกัน มีลักษณะเป็นชั้นแข็ง (duricrust) ชั้นนี้ คือ ชั้น "ศิลาแลง" หรือชั้นที่ชาวบ้านเรียกว่า "แม่รัง"

- ชั้นดินเหนียวจุดประ (mottled clay) เป็นชั้นที่อยู่ถัดจากชั้นศิลาแลงลงไปอาจมีสารละลายของแร่เหล็กและแมงกานีสพอกพูนเป็นเม็ด ๆ ปะปนอยู่บ้างชาวบ้านเรียกว่า "ลูกรัง" มีความหนาไม่แน่นอนรอยต่อระหว่างชั้นนี้กับชั้นศิลาแลง อาจจะเป็นรอยต่อที่เด่นชัด หรืออาจจะเป็นรอยต่อที่ดินเหนียวค่อย ๆ เปลี่ยนสภาพเป็นดินเหนียวอ่อนสีเทา มีจุดประสีแดง สีส้ม สีเหลือง ของสารละลายเหล็กออกไซด์ กระจัดกระจายอยู่ในเนื้อดินเหนียวอย่างไม่เป็นระเบียบ

- ในบางพื้นที่จะเห็นชั้นดินเหนียวสีจาง (pale zone P ในภาพ) อาจมีสีขาวทั้งหมด หรือขาวเป็นบางส่วน และมีกรวดของแร่ควอตซ์ขนาดต่าง ๆ ปะปนอยู่ด้วย ชั้นนี้เกิดจากการที่สารละลายของแร่เหล็ก หรือแมงกานีสออกไซด์ถูกชะล้างออกไป เนื่องจากการเปลี่ยนระดับน้ำบาดาล กล่าวคือ เมื่อสารละลายของเหล็กเฟอร์สอยู่ต่ำกว่าระดับน้ำบาดาล บริเวณนั้นจะเกิดสถานะการลดออกซิเจน

สารละลายของเหล็กจะถูกดูดขึ้นไปด้วยแรงดึงดูดระหว่างโมเลกุลตามรูเล็ก ๆ (capillary suction) ในเนื้อตะกอน แล้วตกตะกอนเป็นเหล็ก เฟอริกอยู่เหนือระดับน้ำบาดาลดังกล่าว ในฤดูร้อนจึงเห็นชั้นตะกอนคอนบนมีจุดแค้ในบางพื้นที่เป็นชั้นหินผุ โดยเนื้อหินเดิมผุพังสลายตัวไป แต่โครงสร้างของหินยังคงอยู่ให้สังเกตได้ แร่ประกอบหินถูกแทนที่ด้วยดินเหนียวและเหล็กออกไซด์ เราเรียกตะกอนลักษณะนี้ว่า แซปโรไลต์ (saprolite S)

-ชั้นล่างสุดถัดจากชั้นแซปโรไลต์ลงไปจะเป็นหินต้นกำเนิด หรือหินดาน [1,3]

2.1.2. ศิลแลงที่เกิดจากการสะสมตะกอน

ตะกอนในที่นี้หมายถึง เศษหิน กรวด ทราย และดินเหนียว หรืออาจเป็นศิลแลงที่เกิดขึ้นมาก่อนแล้วแตกหักผุพัง ตะกอนเหล่านี้เมื่อผุพัง หรือถูกกัดเซาะหลุดออกจากพื้นที่เดิมก็จะถูกพัดพาไปสะสมตัว ณ ที่ซึ่งอยู่ในระดับต่ำกว่า ดังภาพที่ 11 ต่อจากนั้นกระบวนการเกิดศิลแลงจากการเปลี่ยนแปลงของอากาศและระดับน้ำบาดาล ได้เปลี่ยนแปลงสภาพตะกอนที่ทับถมกันอยู่นั้นให้เป็นศิลแลง ตะกอนที่ผุพังส่วนมากจะถูกเปลี่ยนสภาพด้วยสารละลายของแร่เหล็ก แต่บางครั้งแล้วควอตซ์และหินที่มีความต้านทานอาจจะ เหลืออยู่เป็นก้อนกรวดขนาดต่าง ๆ หุ้มล้อมหรือเชื่อมประสานเป็นชั้นแข็งด้วยสารละลายเหล็กและแมงกานีส จึงอาจเรียกชื่อตามลักษณะรูปแบบที่เห็นนี้ว่า ศิลแลงกรวด (gravelly Laterite) กระบวนการเกิดศิลแลงที่สำคัญ จึงเป็นการเปลี่ยนแปลงของระดับน้ำบาดาลตามฤดูกาล ในฤดูฝนระดับน้ำที่มีสารละลายของแร่เหล็กจะขึ้นสูงและตกตะกอนอยู่ในระดับบน ฤดูร้อนระดับน้ำบาดาลลด สารละลายของแร่เหล็กที่มีอยู่ในน้ำก็ค่อย ๆ ลดระดับลงมาด้วย และตกตะกอนอยู่เป็นแนวชั้นล่าง (ภาพที่ 13) ระดับน้ำที่เปลี่ยนแปลงขึ้นลงเช่นนี้ เมื่อเวลาผ่านไปนาน ๆ ก็จะเกิดเป็นชั้นแข็งของศิลแลง (Harden Laterite or Brickstone) อยู่ ณ บริเวณนั้น [1,3]

เนื่องจากลักษณะทางกายภาพ ของศิลแลง(Harden Laterite or Brickstone)นั้นจะไม่ทำกันทุกก้อน ความสามารถทางวิศวกรรมของก้อนศิลแลง(Harden Laterite or Brickstone)นั้นจะขึ้นอยู่กับ 3 ปัจจัย ได้แก่

- 1.) องค์ประกอบและปริมาณการตกผลึกของสารที่เป็นองค์ประกอบ
- 2.) การจัดเรียงตัวกันขององค์ประกอบต่างๆ
- 3.) อายุของศิลแลง(Harden Laterite or Brickstone)[5]

2.2 การทดสอบหาค่าการดูดซึมน้ำของศิลาแลง(Harden Laterite or Brickstone) ABSORPTION TEST OF Harden Laterite or Brickstone [6,7]

การดูดซึมน้ำของน้ำเข้าไปในศิลาแลง อัตราการซึมของน้ำผ่านศิลาแลง ขึ้นต่อหนึ่งหน่วยเวลา เรียกว่า อัตราการซึมผ่านของน้ำ

ความสามารถในการดูดซึมน้ำของตัวอย่างจากความสัมพันธ์ของศิลาแลง

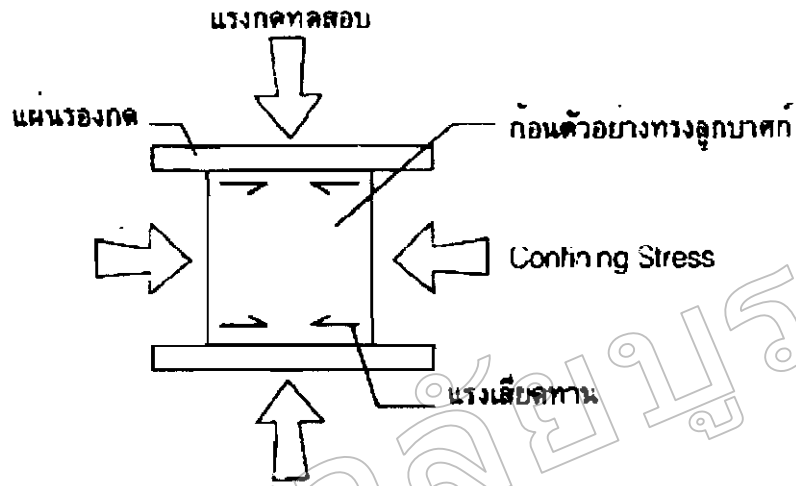
$$\% \text{ Absorption of Brickstone} = \frac{(w_2)_{\text{original}} - (w_1)_{\text{oven-dry}}}{(w_1)_{\text{oven-dry}}} \times 100$$

W_1 = dried weight

W_2 = wet weight

2.3 การทดสอบค่าแรงอัดของศิลาแลง(Harden Laterite or Brickstone) COMPRESSION TEST OF Harden Laterite or Brickstone [4,6]

โดยทั่วไปแล้วศิลาแลงมักจะนำมาใช้ประโยชน์ 2 ด้าน คือ ใช้ในการทำกำแพง หรือใช้ปูเป็นทางเดิน เมื่อดำเนินถึงลักษณะการรับแรงแล้วสามารถระบุได้ว่าการใช้งานศิลาแลงทั้ง 2 ด้านศิลาแลงจะรับแรงอัดเช่นเดียวกัน เช่นในกรณีของการนำไปทำกำแพงหรือผนัง ศิลาแลงจะรับน้ำหนักจากด้านบนที่ถ่ายลงมา หรือในกรณีของการนำไปทำทางเท้า ก็จะรับน้ำหนักคนที่เดินสัญจรไปมา หรือนำหนักบรรทุกอื่น ๆ ดังนั้นในทางวิศวกรรมยังจึงเป็นที่ต้องทราบความสามารถในการรับแรงอัดของศิลาแลงแต่ละประเภท เพื่อให้สามารถนำศิลาแลงไปใช้งานได้ถูกต้องและเหมาะสมกับประเภทของงานนั้น ๆ



รูปที่ 2.5 ลักษณะแรงดันต่อกรับแตกด้านข้าง (Confining Stress) ของก้อนตัวอย่างรูปทรงลูกบาศก์[4]

การคำนวณหาค่ากำลังแรงอัด

$$C = \frac{W}{A} \quad (1)$$

C = กำลังแรงอัดของตัวอย่าง ,psi(Mpa)

W = น้ำหนัก ,lbf (N) ที่ตกลงบนตัวอย่างจนพัง

A = พื้นที่ของก้อนตัวอย่างที่รับน้ำหนัก in^2 (mm^2)

ในกรณีที่ อัตราส่วนความกว้างต่อความยาว ที่ไม่ใช่ 1:1 และแตกต่างกันเกิน 25% หรือมากกว่า สามารถคำนวณได้จากสมการ [4]

$$C_c = \frac{C_p}{0.778 + 0.222(b/h)} \quad (2)$$

CC = กำลังอัดของตัวอย่าง

C_p = กำลังอัดตัวอย่างที่ทดสอบ ที่มีความสูงมากกว่าความกว้าง

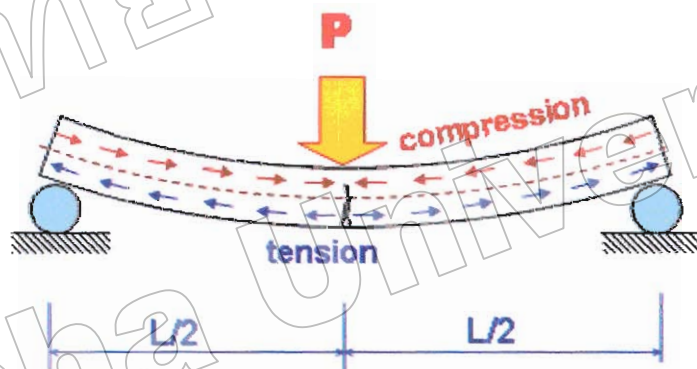
b = ความกว้างของก้อนตัวอย่าง

h = ความสูง ของก้อนตัวอย่าง

ในค่าการทดสอบอาจต้องทำหลายตัวอย่าง เพื่อให้เกิดความแม่นยำเพิ่มมากขึ้น เพราะวัสดุที่นำมาทดลองอาจเกิดความคลาดเคลื่อนเนื่องจากวัสดุที่นำมาทดลอง

2.4 การทดสอบหาค่าแรงดัดของศิลาแลง(Harden Laterite or Brickstone) FLEXURAL TEST OF Harden Laterite or Brickstone [6,8]

การทดลองนี้เป็นการทดลองหาค่ารับแรงดัดของคอนกรีต โดยทดสอบกับคานคอนกรีตที่วางบน Simple Support (Simple Beam) และใช้น้ำหนักกระทำแบบ Center - Point Loading ผลของค่ากำลังต้านทานแรงดัดจะอยู่ในรูปของโมดูลัสการแตกร้าว (Modulus of Rupture) โดยเป็น ค่าหน่วยแรงดึงสูงสุด ณจุด แตกร้าวในคานที่ทำการทดลอง ซึ่งหาได้จากสมการ $f_b = \frac{Mc}{I}$



รูปที่ 2.6 การให้น้ำหนักกระทำแบบ Center - Point Loading[]

การคำนวณหาค่ากำลังแรงดัด (Modulus of Rupture)

$$R = \frac{3PL}{2bd^2}$$

เมื่อ

R = โมดูลัสการแตกร้าว (Middle one of Span)

P = น้ำหนักสูงสุด (Maximum Load)

L = ความยาวคาน (Span Length)

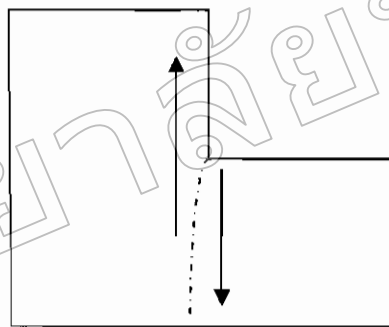
b = ความกว้างเฉลี่ยของคาน

d = ความลึกเฉลี่ยของคาน

2.5 การทดสอบหาค่าแรงเฉือนของหินแลง(Harden Laterite or Brickstone) SHEAR TEST OF Harden Laterite or Brickstone [9]

ในการทดสอบแรงเฉือน เราสนใจคุณสมบัติของวัสดุเนื่องจากการกระทำของแรงเฉือน 2 ประเภท

2.5.1 แรงเฉือนโดยตรง (direct shear) และแรงเฉือนเนื่องจากการบิด (torsional shear) **direct shear** เนื่องจากว่าแรงเฉือนในกรณีนี้เกิดจากการกระทำโดยตรงของแรงเฉือนที่ตัวอย่างทดสอบ เราจึงเรียกแรงเฉือนในลักษณะนี้ว่า direct shear



รูปที่ 2.7 การทดสอบแรงเฉือนโดยตรง (direct shear)

ซึ่งในกรณีนี้ถ้าสมมุติให้แรงทั้งสองมีระยะเชิงศูนย์กลางที่น้อยมากแล้ว เราจะเห็นได้ว่า ตัวอย่างวัสดุทดสอบจะถูกกระทำโดยแรงเฉือนในระนาบเดียวและหน่วยแรงเฉือนที่เกิดขึ้นบนหน้าตัดของหมุดจะหาได้จากสมการ

$$\tau = P/A$$

เมื่อ P เป็นแรงกดอัดที่

A เป็นพื้นที่หน้าตัดของระนาบที่เกิดการวิบัติ

บทที่ 3

วิธีการทดสอบ

ในโครงการบพนี้กล่าวถึงวัตถุประสงค์ที่ใช้และ วิธีการเตรียมตัวอย่างรวมทั้งกรรมวิธี กระบวนการทดสอบการรับกำลังอัดของศิลาแลง และการดูดซึมน้ำของศิลาแลง

3.1 การทดสอบการดูดซึมน้ำของศิลาแลง(ABSORPTION TEST OF HARDEN LATERITE OR BRICKSTONE)[6]

3.1.1 วัสดุตัวอย่างที่ใช้ในการทดลอง

- ศิลาแลงสำหรับทดสอบขนาด 7 ซม.x7 ซม.x7 ซม. จำนวน 15 ก้อน



รูปที่ 3.1 ตัวอย่างศิลาแลง

-น้ำสะอาด

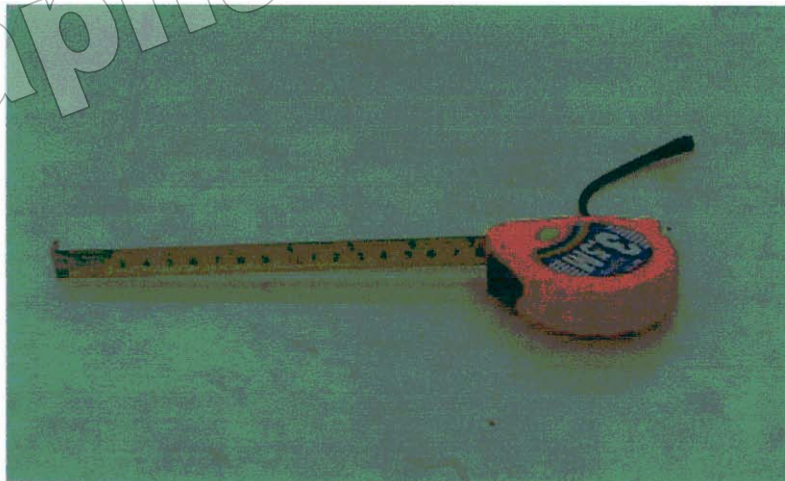
3.1.2 เครื่องมือและอุปกรณ์การทดลอง

-เครื่องมือชั่งละเอียด



รูปที่ 3.2 เครื่องชั่งละเอียด

- เครื่องมือวัด อาทิ คลิปเมตร, ไม้บรรทัดเหล็ก



รูปที่ 3.3 เครื่องมือวัด

- คู่มือไฟฟ้าควบคุมอุณหภูมิได้ 110 องศาเซนเซียส



รูปที่ 3.4 ตู้อบ

-ภาชนะที่สามารถแช่ตัวอย่าง



รูปที่ 3.5 ภาชนะสำหรับแช่ตัวอย่าง

-ผ้าเนื้อนุ่มซับน้ำ (ควรเป็นผ้าที่ซับน้ำได้ดี)

3.1.3 วิธีการทดสอบ

1. คัดเลือกขนาดตัวอย่างที่ใช้ทดสอบจำนวนตัวอย่างละ 15 ก้อน โดยเลือกขนาดก้อนที่สมบูรณ์มากที่สุด



รูปที่ 3.6 ก้อนตัวอย่างศิลาแดงที่ใช้ในการทดสอบ

2. วัดขนาด และชั่งตัวอย่างพร้อมทำสัญลักษณ์ หรือหมายเลขไว้ในแต่ละชุดต่อตัวอย่าง เพื่อป้องกันข้อมูลคลาดเคลื่อน

3.นำตัวอย่างมาแช่ในภาชนะที่มีน้ำกลั่น (ในการทดสอบอาจใช้น้ำสะอาดทดแทนได้) โดยแช่ให้ท่วมก้อนซิลิกาแดงตัวอย่าง แช่ทิ้งไว้ 24 ชั่วโมง



รูปที่ 3.7 ตัวอย่างซิลิกาแดงที่แช่น้ำ

4.นำตัวอย่างที่แช่ครบกำหนดในข้อ 3 นำขึ้นจากน้ำ นำผ้าขนหนูซับน้ำในแต่ละก้อนตัวอย่างให้แห้งซึ่งอยู่ในลักษณะอ้อมตัวผิวแห้ง แล้วนำมาชั่งในแล้วเสร็จภายใน 5 นาทีหลังจากที่ซับน้ำแล้วเสร็จ

5.นำตัวอย่างที่ผ่านขั้นตอนในข้อ 4 นำเข้าตู้อบไฟฟ้าปรับอุณหภูมิ 110 องศาเซลเซียส ใช้เวลาในการอบเป็นเวลา 24 ชั่วโมง แล้วจึงนำออกมาชั่งน้ำหนักในแต่ละก้อนตัวอย่าง เป็นอันแล้วเสร็จขั้นตอนการทดสอบ

3.1.4 ตัวอย่างตารางบันทึกผลการทดสอบ

ตารางที่ 3.1 บันทึกผลการทดสอบ Absorption

No.	Dimeinsion of Specimen (cm.×cm.×cm.)	Weigth of Dry	Weigth of Original	Weigth of wet
1	7x7x7	711.9	729.3	785.7
2	7x7x7	759.9	782.5	838.7
3	7x7x7	726.8	750.7	803.9
4	7x7x7	705.8	739.3	780.9
5	7x7x7	739	758.1	817.6
6	7x7x7	677.1	700.5	753.4
7	7x7x7	743.2	767.1	825.8
8	7x7x7	701.3	720	777.2
9	7x7x7	737.2	759.5	813.6
10	7x7x7	738.5	763	814.6
11	7x7x7	734.1	758.8	809.6
12	7x7x7	749.4	772.4	823.5
13	7x7x7	761.9	783.7	843.5
14	7x7x7	781.8	804.1	860.9
15	7x7x7	7704.2	714.1	767

เปอร์เซ็นต์ การดูดซึมน้ำ ของศิลาแลง

ยกตัวอย่างรายการคำนวณ ตัวอย่างที่ 1

$$\% \text{ Absorption} = \frac{(w_2)_{\text{original}} - (w_1)_{\text{oven-dry}}}{(w_1)_{\text{oven-dry}}} \times 100$$

$$\% \text{ Absorption} = \frac{785.7 - 729.3}{729.3} \times 100 = 7.73 \%$$

$$\% \text{ Absorption Average} = 7.19 \%$$

3.2 การทดสอบหาค่าแรงอัดของศิลาแลง (Harden Laterite or Brickstone) COMPRESSION TEST OF Harden Laterite or Brickstone [6]

3.2.1 วัสดุตัวอย่างที่ใช้ในการทดลอง

- ศิลาแลงสำหรับทดสอบขนาด 15 ซม. x 15 ซม. x 15 ซม. จำนวน 20 ก้อน



รูปที่ 3.8 ตัวอย่างศิลาแลงที่ใช้ทดสอบ

3.2.2 อุปกรณ์การทดสอบ

-เครื่อง ทดสอบกำลังอัด



รูปที่ 3.9 เครื่องทดสอบกำลังอัด

-เครื่องมือซึ่งที่สามารถอ่านได้ละเอียดถึง 0.01 กรัม



รูปที่ 3.10 เครื่องชั่ง

-เครื่องมือวัดความยาวหรือไม้บรรทัดเหล็ก



รูปที่ 3.11 เครื่องมือวัด

3.2.3 ลำดับขั้นตอนการทดลอง

1. นำศิลาแดงที่เตรียมไว้ จำนวน 20 ก้อน ชั่งน้ำหนัก และวัดขนาด
2. นำก้อนตัวอย่างที่เตรียมไว้ มาทดสอบเข้าเครื่องกดคอนกรีต



รูปที่ 3.12 ศิลาแดง

3. สังเกตตัวอย่างในขณะที่ทดลองหากำลังต้านทางแรงกด จนกระทั่งตัวอย่างเสียหาย

4. บันทึกผลการทดลอง ของแรงที่ทำให้ก้อนศิลาแลงวิบัติ

ตารางที่ 3.2 ตารางบันทึกผลการทดลองรายงานผลการทดสอบแรงอัด

Specimen No.1				
Load (N)	Deformation(mm)	Stress(MPa)	Strain	Minimum Stress(MPa)
10300	0.50	0.458	0.003	4.53
40200	1.00	1.787	0.007	
70900	1.50	3.151	0.010	
99700	2.00	4.431	0.013	
94600	2.50	4.204	0.017	
83500	3.00	3.711	0.020	
69000	3.50	3.067	0.023	
58300	4.00	2.591	0.027	

Specimen No.2				
Load (N)	Deformation(mm)	Stress(MPa)	Strain	Minimum Stress(MPa)
15200	0.50	0.676	0.003	4.22
23700	1.00	1.053	0.007	
23500	1.50	1.044	0.010	
22100	2.00	0.982	0.013	
29300	2.50	1.302	0.017	
45100	3.00	2.004	0.020	
70900	3.50	3.151	0.023	
88700	4.00	3.942	0.027	
91300	4.50	4.058	0.030	
90200	5.00	4.009	0.033	
82700	5.50	3.676	0.037	

Specimen No.3				
Load (N)	Deformation(mm)	Stress(MPa)	Strain	Minimum Stress(MPa)
9100	0.50	0.404	0.003	5.74
30800	1.00	1.369	0.007	
66900	1.50	2.973	0.010	
99400	2.00	4.418	0.013	
127600	2.50	5.671	0.017	
106500	3.00	4.733	0.020	
85300	3.50	3.791	0.023	
65400	4.00	2.907		

Specimen No.4				
Load (N)	Deformation(mm)	Stress(MPa)	Strain	Minimum Stress(MPa)
5500	0.50	0.244	0.003	5.74
25100	1.00	1.116	0.007	
86700	1.50	3.853	0.010	
127900	2.00	5.684	0.013	
106000	2.50	4.711	0.017	
92300	3.00	4.102	0.020	
82000	3.50	3.644	0.023	

Specimen No.5				
Load (N)	Deformation(mm)	Stress(MPa)	Strain	Minimum Stress(MPa)
21600	0.50	0.960	0.003	4.65
28700	1.00	1.276	0.007	
39700	1.50	1.764	0.010	
69800	2.00	3.102	0.013	
89700	2.50	3.987	0.017	
103500	3.00	4.600	0.020	
96700	3.50	4.298	0.023	

Specimen No.6				
Load (N)	Deformation(mm)	Stress(MPa)	Strain	Minimum Stress(MPa)
8900	0.50	0.396	0.003	4.12
33700	1.00	1.498	0.007	
57300	1.50	2.547	0.010	
82100	2.00	3.649	0.013	
92300	2.50	4.102	0.017	
82300	3.00	3.658	0.020	
71200	3.50	3.164	0.023	

Specimen No.7				
Load (N)	Deformation(mm)	Stress(MPa)	Strain	Minimum Stress(MPa)
5800	0.50	0.258	0.003	2.68
7700	1.00	0.342	0.007	
50300	1.50	2.236	0.010	
69000	2.00	3.067	0.013	
25400	2.50	1.129	0.017	
44500	3.00	1.978	0.020	
54600	3.50	2.427	0.023	
56900	4.00	2.529	0.027	
49700	4.50	2.209	0.030	

Specimen No.8				
Load (N)	Deformation(mm)	Stress(MPa)	Strain	Minimum Stress(MPa)
6800	0.50	0.302	0.003	2.65
13800	1.00	0.613	0.007	
18200	1.50	0.809	0.010	
23100	2.00	1.027	0.013	
37900	2.50	1.684	0.017	
53500	3.00	2.378	0.020	
55700	3.50	2.476	0.023	
51100	4.00	2.271	0.027	
55500	4.50	2.467	0.030	

Specimen No.9				
Load (N)	Deformation(mm)	Stress(MPa)	Strain	Minimum Stress(MPa)
19800	0.50	0.880	0.003	2.71
34200	1.00	1.520	0.007	
49500	1.50	2.200	0.010	
55100	2.00	2.449	0.013	
56800	2.50	2.524	0.017	
52700	3.00	2.342	0.020	
48200	3.50	2.142	0.023	

Specimen No.10				
Load (N)	Dcformation(mm)	Stress(MPa)	Strain	Minimum Stress(MPa)
14000	0.50	0.622	0.003	4.49
50500	1.00	2.244	0.007	
83600	1.50	3.716	0.010	
96800	2.00	4.302	0.013	
93100	2.50	4.138	0.017	
75000	3.00	3.333	0.020	
61100	3.50	2.716	0.023	

Specimen No.11				
Load (N)	Deformation(mm)	Stress(MPa)	Strain	Minimum Stress(MPa)
19700	0.50	0.876	0.003	2.28
18700	1.00	0.831	0.007	
23000	1.50	1.022	0.010	
34500	2.00	1.533	0.013	
44100	2.50	1.960	0.017	
51200	3.00	2.276	0.020	
44600	3.50	1.982	0.023	

Specimen No.12				
Load (N)	Deformation(mm)	Stress(MPa)	Strain	Minimum Stress(MPa)
15100	0.50	0.671	0.003	2.19
19000	1.00	0.844	0.007	
24200	1.50	1.076	0.010	
27000	2.00	1.200	0.013	
30300	2.50	1.347	0.017	
37200	3.00	1.653	0.020	
42900	3.50	1.907	0.023	
46100	4.00	2.049	0.027	
44600	4.50	1.982	0.030	

Specimen No.13				
Load (N)	Deformation(mm)	Stress(MPa)	Strain	Minimum Stress(MPa)
20000	0.50	0.889	0.003	2.30
39100	1.00	1.738	0.007	
40200	1.50	1.787	0.010	
44900	2.00	1.996	0.013	
48000	2.50	2.133	0.017	
38200	3.00	1.698	0.020	
33700	3.50	1.498	0.023	

Specimen No.14				
Load (N)	Deformation(mm)	Stress(MPa)	Strain	Minimum Stress(MPa)
3000	0.50	0.133	0.003	2.97
17700	1.00	0.787	0.007	
35600	1.50	1.582	0.010	
55100	2.00	2.449	0.013	
59300	2.50	2.636	0.017	
63900	3.00	2.840	0.020	
60100	3.50	2.671	0.023	

Specimen No.15				
Load (N)	Deformation(mm)	Stress(MPa)	Strain	Minimum Stress(MPa)
20500	0.50	0.911	0.003	3.46
41600	1.00	1.849	0.007	
60500	1.50	2.689	0.010	
76400	2.00	3.396	0.013	
76200	2.50	3.387	0.017	
68600	3.00	3.049	0.020	
55700	3.50	2.476	0.023	

Specimen No.16				
Load (N)	Deformation(mm)	Stress(MPa)	Strain	Minimum Stress(MPa)
6700	0.50	0.298	0.003	2.91
12300	1.00	0.547	0.007	
22600	1.50	1.004	0.010	
39900	2.00	1.773	0.013	
52600	2.50	2.338	0.017	
59400	3.00	2.640	0.020	
62200	3.50	2.764	0.023	
55000	4.00	2.444	0.027	
43100	4.50	1.916	0.030	

Specimen No.17				
Load (N)	Deformation(mm)	Stress(MPa)	Strain	Minimum Stress(MPa)
39100	0.50	1.738	0.003	4.37
82600	1.00	3.671	0.007	
97500	1.50	4.333	0.010	
92300	2.00	4.102	0.013	
78800	2.50	3.502	0.017	
66800	3.00	2.969	0.020	
53700	3.50	2.387	0.023	

Specimen No.18				
Load (N)	Deformation(mm)	Stress(MPa)	Strain	Minimum Stress(MPa)
18100	0.50	0.804	0.003	3.10
28300	1.00	1.258	0.007	
44500	1.50	1.978	0.010	
55800	2.00	2.480	0.013	
68100	2.50	3.027	0.017	
66700	3.00	2.964	0.020	
64400	3.50	2.862	0.023	

Specimen No.19				
Load (N)	Deformation(mm)	Stress(MPa)	Strain	Minimum Stress(MPa)
2700	0.50	0.120	0.003	
4200	1.00	0.187	0.007	
9800	1.50	0.436	0.010	
1700	2.00	0.076	0.013	
5700	2.50	0.253	0.017	
1600	3.00	0.071	0.020	
1000	3.50	0.044	0.023	
11200	4.00	0.498	0.027	
6600	4.50	0.293	0.030	3.10
27300	5.00	1.213	0.033	
30000	5.50	1.333	0.037	
41200	6.00	1.831	0.040	
51600	6.50	2.293	0.043	
69600	7.00	3.093	0.047	
84200	7.50	3.742	0.050	
79600	8.00	3.538	0.053	
72100	8.50	3.204	0.057	

Specimen No.20				
Load (N)	Deformation(mm)	Stress(MPa)	Strain	Minimum Stress(MPa)
1000	0.50	0.044	0.003	3.10
1600	1.00	0.071	0.007	
19000	1.50	0.844	0.010	
32500	2.00	1.444	0.013	
39600	2.50	1.760	0.017	
44600	3.00	1.982	0.020	
61200	3.50	2.720	0.023	
61800	4.00	2.747	0.027	
59600	4.50	2.649	0.030	

รายการคำนวณ ยกตัวอย่างที่ 1

$$\text{Stress} = \frac{F}{A} = \frac{10300}{22500} = 0.458 \text{ Mpa}$$

$$\text{Strain} = \frac{\Delta L}{L_0} = 0.003 \text{ mm}$$

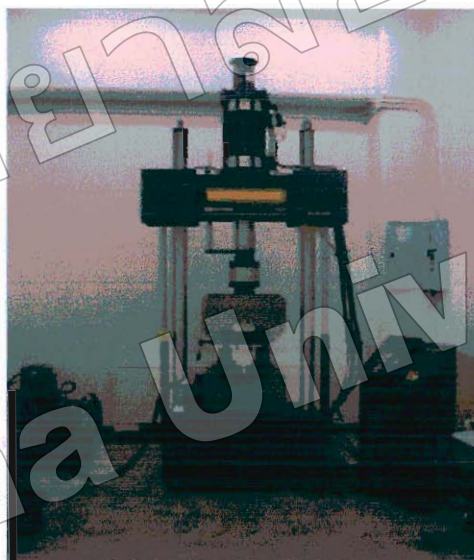
3.3 การทดสอบหาค่าแรงดัดของศิลาแดง (Harden Laterite or Brickstone) FLEXURAL STRENGTH OF Harden Laterite or Brickstone [6,8]

3.3.1 วัสดุที่ใช้ทดสอบ

ศิลาแดงขนาด 7 ซม. x 7 ซม. x 50 ซม. จำนวน 20 ก้อน

3.3.2 อุปกรณ์ที่ใช้ในการทดสอบ

-เครื่องทดสอบ Universal Testing Machine



รูปที่ 3.14 เครื่องทดสอบแรงดัด

- เครื่องมือชั่งที่สามารถอ่านได้ละเอียดถึง 0.01 กรัม



รูปที่ 3.15 เครื่องชั่ง

- Support พร้อมทั้งนำแท่นกดด้านบน วางบนกึ่งกลางและแท่นกด



รูปที่ 3.16 แท่นกด

-เครื่องมือวัด



รูปที่ 3.17 แท่นกด



รูปที่ 3.18 คัลลิเปอร์ Vernier Caliper มีความละเอียดในการวัดถึง 0.1 มิลลิเมตร

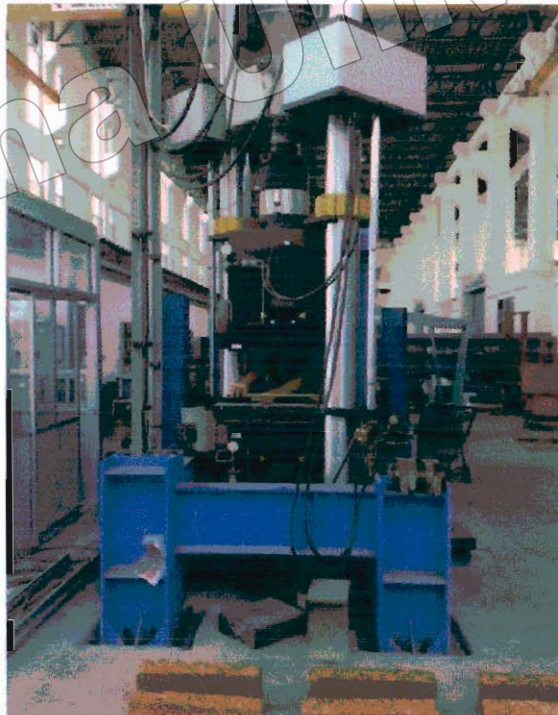
3.3.3 วิธีการทดสอบ

1. นำแท่งตัวอย่างมาชั่งน้ำหนัก วัดขนาดก่อนตัวอย่าง จดบันทึกไว้



รูปที่ 3.20 ก้อนตัวอย่างสำหรับทดสอบแรงดัด

2. ติดตั้ง Support เข้ากับเครื่องทดสอบ โดยมีระยะห่าง (Span Length) 45 เซนติเมตร



รูปที่ 3.21 การติดตั้ง Support สำหรับการทดสอบ

- วางตัวอย่างลงบน Support พร้อมทั้งนำแท่นกดด้านบน วางบนกึ่งกลางช่วง Span คานให้น้ำหนักกดอย่างสม่ำเสมอระวังอย่าให้เกิดการกระแทก ในช่วงแรกให้นำหนักกดอย่างรวดเร็วจนถึงประมาณ 50 % ของน้ำหนักสูงสุด แล้วจึงให้นำหนักกดในอัตราที่ทำให้เกิด Fiber Stress ไม่เกิน 10.8 กิโลกรัมต่อตารางเซนติเมตรต่อวินาทีจนกระทั่งก่อนตัวอย่างพัง



รูปที่ 3.22 วางตัวอย่างทดสอบบนแท่นทดสอบ

4. บันทึกค่าน้ำหนักสูงสุด และส่วนต่าง ๆ ของตัวอย่าง เช่น ความกว้าง ความลึก ของส่วนที่พังเพื่อนำไปคำนวณค่ากำลังคัด พร้อมทั้งวาดรูปลักษณะการพังของตัวอย่างการทดสอบ

3.3.4 แบบฟอร์มบันทึกผลการทดสอบต้านทานแรงค้ำของศิลาแดง

ตารางที่ 3.3 บันทึกผลการทดลอง แรงค้ำ

Data Test (UTM)					
No.	Weight (Kg.)	Dimension of Specimen (mm)			Stress(MPa)
		B (mm)	H (mm)	Max Load (N)	
1	17.3	96.9	154.9	4540	1.05
2	17.2	106	147.5	3130	0.07
3	17	103.6	158.9	3070	0.06
4	17	99.9	144.1	4410	0.11
5	17.1	102.8	149	3330	0.08
6	16.9	100.9	156	3560	0.08
7	17.3	105.5	150.4	3100	0.07
8	16.4	103.9	154.4	1120	0.02
9	17.7	102.6	160.7	740	0.02
10	15.7	100.8	151.9	2970	0.07
11	17.4	98.3	159.1	6740	0.15
12	17.3	101.3	154.4	3060	0.07
13	18.4	103.3	157.2	4780	0.10
14	16.6	97.2	152.3	4030	0.10
15	17	105.2	154.8	4360	0.09
16	17.2	107.4	147.1	3790	0.09
17	17.7	103.8	155.5	4370	0.09
18	17.2	104.5	154.9	3260	0.07
19	16.8	100.6	159.2	2520	0.05
20	18.4	103.3	152	5120	0.12

รายการคำนวณค่าปهنงหน้าตัดที่วิบัติกำลังรับแรงค้ดหรือ โมลูลัสการแตกหักจากสมการค้ดนี้

$$\sigma_f = \frac{Mc}{I} = \frac{3PL}{2bh^2}$$

รายการคำนวณ ยกตัวอย่างค้ดอย่างทดสอบที่ 1

$$\sigma_f = \frac{3PL}{2bh^2} = \frac{3(4540)(450)}{2(96.9)(154.9^2)} = 1.05 \text{ MPa}$$

3.4 การทดสอบหาค่าแรงเนียนของศิลาแลง (Harden Laterite or Brickstone) SHEREFORCE

TEST OF Harden Laterite or Brickstone [6,8,10]

3.4.1 วัสดุที่ใช้ทดสอบ

ก้อนศิลาแลงขนาด 7 ซม. x 7 ซม. 5 ซม. ค้ดรูปที่



รูปที่ 3.23 ลักษณะก้อนตัวอย่าง ศิลาแลงทดสอบแรงเนียน

3.4.2 อุปกรณ์ที่ใช้ในการทดสอบ

-เครื่องทดสอบ Universal Testing Machine



รูปที่ 3.24 เครื่องทดสอบแรงดึง

-เครื่องมือชั่งที่สามารถอ่านได้ละเอียดถึง 0.01 กรัม



รูปที่ 3.25 เครื่องชั่ง

-เครื่องมือวัด



รูปที่ 3.26 Vernier Caliper มีความละเอียดในการวัดถึง 0.1 มิลลิเมตร

- เครื่องมือทดสอบแรงเฉือน



รูปที่ 3.27 เครื่องมือทดสอบแรงเฉือน

3.4.3 วิธีการทดลอง

1. วัดขนาดหน้าตัดที่จะทำการทดสอบแรงเฉือนทดสอบด้วย Vernier Caliper พร้อมทั้งบันทึกค่าไว้

2. นำตัวอย่างไปใส่ในชุดทดสอบแรงเฉือน (Shear Tool) สำหรับทดสอบแบบแรงเฉือน



รูปที่ 3.28 การติดตั้งคีมแรงเฉือนเข้ากับอุปกรณ์ทดสอบ

3. นำชิ้นตัวอย่างใส่ในเครื่องทดสอบ Universal Testing Machine โดยให้หัวจับสัมผัสกับ ชุดทดสอบแรงเฉือน (Shear Tool)

4. ให้น้ำหนักกดลงอย่างช้า ๆ จนกระทั่งเกิดการแตกหัก

5. บันทึกแรงที่กระทำบนบันทึกค่าแรงสูงสุดและลักษณะของการขาดออกจากกันของชิ้นทดสอบ

ตารางที่ 3.4 บันทึกผลการทดลองแรงเฉือน

Item	Weight (g.)	Shear area (mm)	Maximum shear Force (N)	stress (MPa)
1	276.5	1479	1010	0.68
2	232.6	1404	1120	0.80
3	257.8	1275	1300	1.02
4	200.7	1222	860	0.70
5	259.2	1300	970	0.75
6	215	1269	1030	0.81
7	226.1	1150	670	0.58
8	193	1410	550	0.39
9	288.7	1275	890	0.70
10	203	1188	570	0.48

ตัวอย่างการคำนวณ ตัวอย่างที่ 1

Shear Strength of สึดาแดง

$$\text{Shear Strength} = \frac{\text{Load}}{\text{Area}} = \frac{1010}{1497} = 0.68 \text{ MPa}$$

บทที่ 4

ผลการทดสอบและวิเคราะห์ผลการทดลอง

บทนี้กล่าวถึงผลการทดสอบและวิเคราะห์ผลที่ได้จากการทดสอบ ประกอบด้วยคุณสมบัติทางกายภาพของศิลาแลง ซึ่งได้แก่สี การวิเคราะห์คุณสมบัติของศิลาแลง ได้แก่ กำลังอัด, การดูดซึมน้ำกำลังรับแรงคดและกำลังรับแรงเฉือน

4.1 ลักษณะทั่วไป

ศิลาแลงเกิดขึ้นได้ในสภาพภูมิอากาศร้อนชื้น ฝนตกมาก แต่แล้งนานด้วยในฤดูฝนน้ำใต้ดินมีระดับสูง ทำให้ท่วมตอบนบนของชั้นดิน (ซึ่งต่อไปกลายเป็นศิลาแลง) ระหว่างนั้น น้ำฝนจะละลายเอาสารประกอบอะลูมิเนียมออกไซด์เอาไว้เมื่อถึงหน้าแล้ง น้ำใต้ดินระดับต่ำลง ก็พาเอาสารประกอบอะลูมิเนียมลงไปสู่ที่ต่ำ เวลานานเข้า วัสดุบริเวณด้านบนจึงมีสารประกอบเหล็กออกไซด์มากขึ้น และมักรวมกันเป็นกลุ่ม จึงเกิดเป็นโพรงว่างเป็นทางให้น้ำใต้ดินซึมขึ้นลงได้ง่ายขึ้น และชะสารประกอบอะลูมิเนียมออกไซด์ออกไปเร็วด้วย ทำให้ศิลาแลงมีลักษณะเด่น คือ มีรูพรุนทั่วไป และเนื้อเป็นสารประกอบเหล็กออกไซด์มากกว่าอะลูมิเนียมออกไซด์[2]

4.2 ศิลาแลงที่เกิดจากการสะสมตะกอน

ตะกอนในที่นี้หมายถึง เศษหิน กรวด ทราย และดินเหนียว หรืออาจเป็นศิลาแลงที่เกิดขึ้นมาก่อนแล้วแตกหักผุพัง ตะกอนเหล่านี้เมื่อผุพัง หรือถูกกัดเซาะหลุดออกจากพื้นที่เดิมก็จะถูกพัดพาไปสะสมตัว ณ ที่ซึ่งอยู่ในระดับต่ำกว่า ดังภาพที่ 11 ต่อจากนั้นกระบวนการเกิดศิลาแลงจากการเปลี่ยนแปลงของอากาศและระดับน้ำบาดาล ได้เปลี่ยนแปลงสภาพตะกอนที่ทับถมกันอยู่นั้นให้เป็นศิลาแลง ตะกอนที่ผุพังส่วนมากจะถูกเปลี่ยนสภาพด้วยสารละลายของแร่เหล็ก แต่บางครั้งแร่ควอตซ์และ หินที่มีความต้านทานอาจจะ เหลืออยู่เป็นก้อนกรวดขนาดต่าง ๆ ห่อมล้อมหรือเชื่อมประสานเป็นชั้นแข็งด้วยสารละลายเหล็กและแมงกานีส จึงอาจเรียกชื่อตามลักษณะรูปแบบที่เห็นนี้ว่า ศิลาแลงกรวด (gravelly Laterite) กระบวนการเกิดศิลาแลงที่สำคัญ จึงเป็นการเปลี่ยนแปลงของระดับน้ำบาดาลตามฤดูกาล ในฤดูฝนระดับน้ำที่มีสารละลายของแร่เหล็กจะขึ้นสูงและตกตะกอนอยู่ในระดับบน ฤดูร้อนระดับน้ำบาดาลลด สารละลายของแร่เหล็กที่มีอยู่ในน้ำก็ค่อย ๆ ลดระดับลงมาด้วย และตกตะกอนอยู่เป็นแนวชั้นล่าง (ภาพที่13)ระดับน้ำที่เปลี่ยนแปลงขึ้นลงเช่นนี้ เมื่อเวลาผ่านไปนาน ๆ ก็จะเกิดเป็นชั้นแข็งของศิลาแลง (Harden Laterite or Brickstone) อยู่ ณ บริเวณนั้น[1,3]

ค่าความถ่วงจำเพาะปกติของศิลาแลง จะมีค่าอยู่ที่ 2.55 [10]

ศิลาแลงเป็นวัสดุที่เกิดจากธรรมชาติความสามารถในการใช้งาน หรือคุณสมบัติทางวิศวกรรม จึงไม่แน่นอนเหมือนกับวัสดุที่ผลิตขึ้นมาเพื่อใช้สอดคล้องตามวัตถุประสงค์

4.3 การดูดซึมน้ำของศิลาแลง(ABSORPTION TEST OF HARDEN LATERITE OR BRICKSTONE)[6]

ค่าการดูดซึมน้ำที่เฉลี่ยมาจากก้อนตัวอย่างที่ทำการทดลองจำนวนทั้งหมด 15 ก้อนมีเปอร์เซ็นต์

การดูดซึมน้ำ = % Absorption Average = 7.19 %

ข้อมูลการเปรียบเทียบของการดูดซึมน้ำของศิลาแลง กับวัสดุที่แตกต่างกัน



รูปที่ 4.1 เปรียบเทียบ % Absorption

จากรูปที่ จะเห็นว่าวัสดุที่มีความทึบน้ำได้มากที่สุดคือคอนกรีตและถ้าเปรียบเทียบกับวัสดุที่จะนำมาใช้งานในลักษณะเดียวกัน ได้แก่ ศิลาแลง อิฐบล็อก และ อิฐแดงจะพบว่าวัสดุที่มีความทึบน้ำได้ดีที่สุดคือ ศิลาแลง ซึ่งเปอร์เซ็นต์การดูดซึมน้ำน้อยก็จะทำให้วัสดุนั้นมีความระเหิดตามเปอร์เซ็นต์ร้อยละของวัสดุนั้นๆวัสดุที่มีความระเหิดมาก ก็จะทำให้วัสดุนั้นมีความแข็งแรงขึ้นด้วย

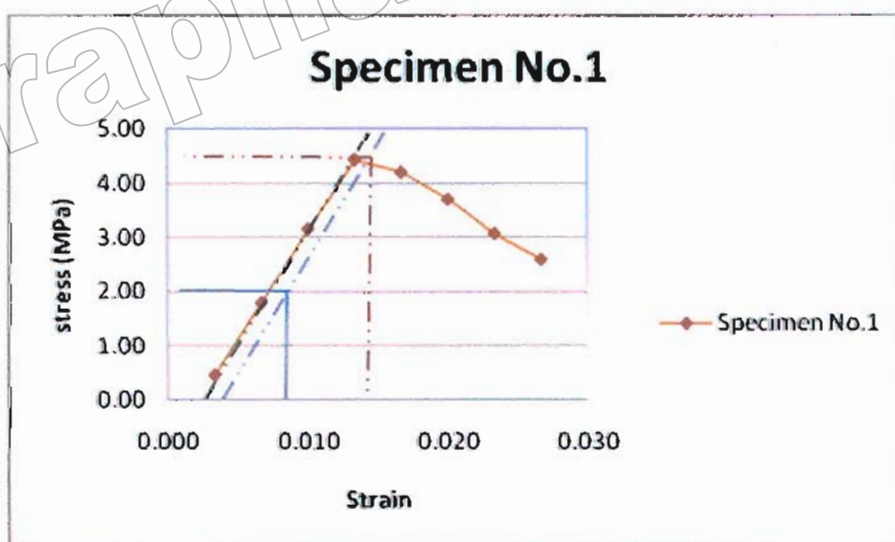
4.4 การรับกำลังอัดของก้อนศิลาแลง (Compression Test Harden Laterite or Brickstone)

จำนวน 20 ตัวอย่างได้ผลดังนี้

ในความสัมพันธ์ระหว่าง Stress กับ Strain ของการทดสอบ Compress Test ยังได้ค่า Modulus of Elasticity

ตารางที่ 4.1 ผลการทดลองการรับกำลังอัดของก้อนศิลาแลง

Specimen No.1				
Load (N)	Def ^s (mm)	Stress(MPa)	Strain	Stress Max (MPa)
10300	0.5	0.458	0.003	4.53
40200	1	1.787	0.007	
70900	1.5	3.151	0.010	
99700	2	4.431	0.013	
94600	2.5	4.204	0.017	
83500	3	3.711	0.020	
69000	3.5	3.067	0.023	
58300	4	2.591	0.027	



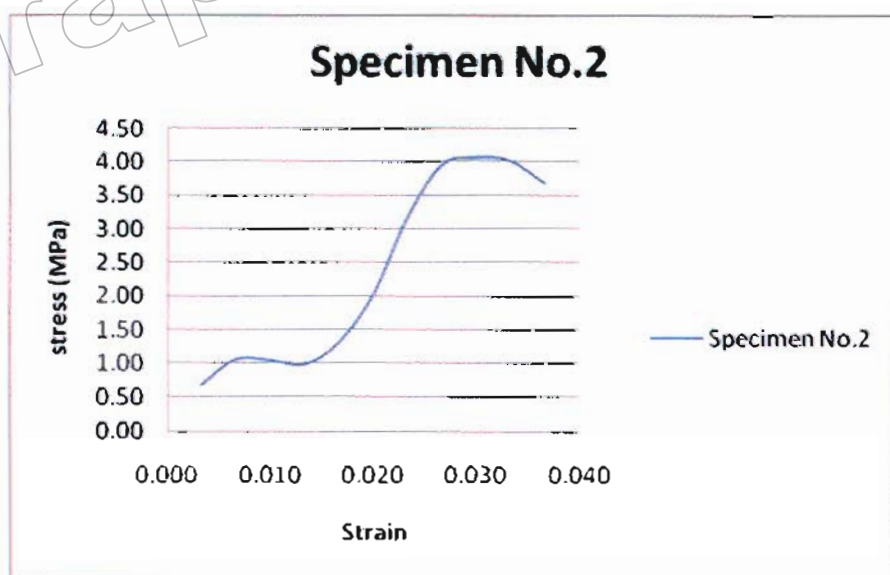
รูปที่ 4.2 รูปแสดงความสัมพันธ์ระหว่าง Stress กับ Strain ของก้อนตัวอย่างที่ 1

จากรูปที่ 4.1 จะได้ค่า Stress Max อยู่ที่ 4.5 MPa และในความสัมพันธ์ระหว่าง Stress กับ Strain

$$\text{เราจะได้ค่า } E = \frac{\Delta Y}{\Delta X} = \frac{4.5 - 2}{0.014 - 0.007} = 357.14 \text{ MPa}$$

ตารางที่ 4.2 บันทึกผลการทดลองการรับกำลังอัดของก้อนศิลาแลง

Specimen No.2				
Load (N)	Deformation(mm)	Stress(MPa)	Strain	Minimum Stress(MPa)
15200	0.50	0.676	0.003	4.22
23700	1.00	1.053	0.007	
23500	1.50	1.044	0.010	
22100	2.00	0.982	0.013	
29300	2.50	1.302	0.017	
45100	3.00	2.004	0.020	
70900	3.50	3.151	0.023	
88700	4.00	3.942	0.027	
91300	4.50	4.058	0.030	
90200	5.00	4.009	0.033	
82700	5.50	3.676	0.037	

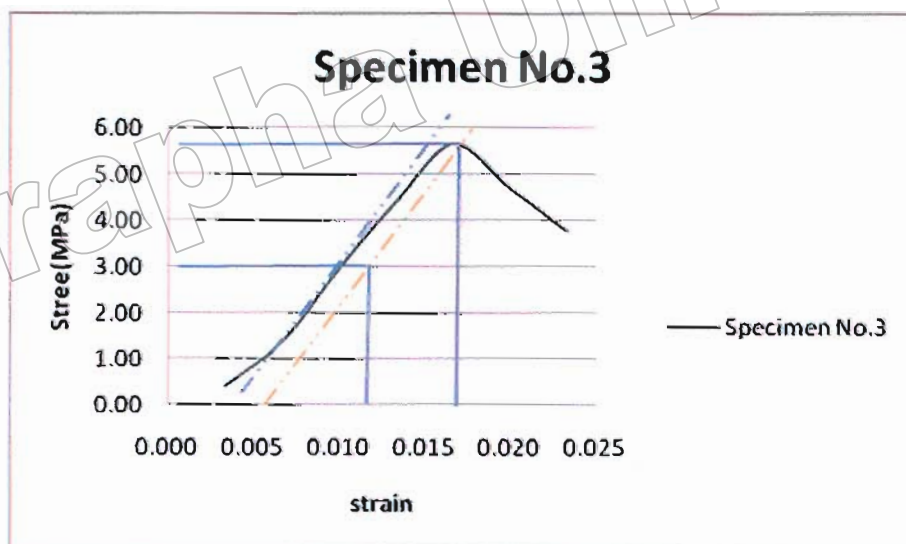


รูปที่ 4.3 รูปแสดงความสัมพันธ์ระหว่าง Stress กับ Strain ของก้อนตัวอย่างที่ 2

ดูจากรูปที่ 4.2 เราจะไม่นำก้อนตัวอย่างนี้มาพิจารณาเนื่องจากที่ดูจากรูปแล้วในการทดลองของก้อนตัวอย่างนี้อาจเกิดความผิดพลาด

ตารางที่ 4.3 บันทึกผลการทดลองการรับกำลังอัดของก้อนศิลาแลง

Specimen No.3				
Load (N)	Deformation(mm)	Stress(MPa)	Strain	Minimum Stress(MPa)
9100	0.50	0.404	0.003	5.74
30800	1.00	1.369	0.007	
66900	1.50	2.973	0.010	
99400	2.00	4.418	0.013	
127600	2.50	5.671	0.017	
106500	3.00	4.733	0.020	
85300	3.50	3.791	0.023	
65400	4.00	2.907		



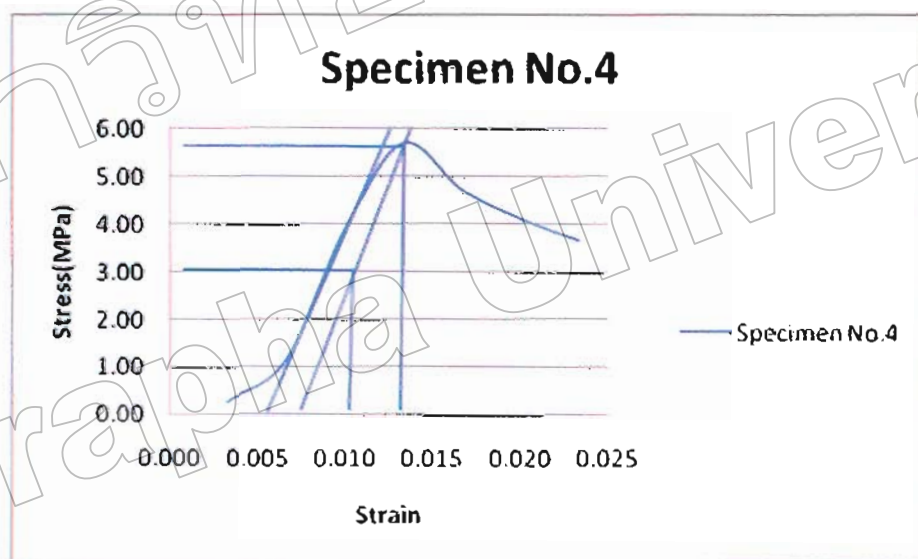
รูปที่ 4.4 รูปแสดงความสัมพันธ์ระหว่าง Stress กับ Strain ของก้อนตัวอย่างที่ 3

จากรูปที่ 4.3 จะได้ค่า Stress Max อยู่ที่ 5.7 MPa และในความสัมพันธ์ระหว่าง Stress กับ Strain

$$\text{เราจะได้ค่า } E = \frac{\Delta Y}{\Delta X} = \frac{5.7 - 3}{0.017 - 0.011} = 450 \text{ MPa}$$

ตารางที่ 4.4 บันทึกผลการทดลองการรับกำลังอัดของก้อนศิลาแดง

Specimen No.4				
Load (N)	Deformation(mm)	Stress(MPa)	Strain	Minimum Stress(MPa)
5500	0.50	0.244	0.003	5.74
25100	1.00	1.116	0.007	
86700	1.50	3.853	0.010	
127900	2.00	5.684	0.013	
106000	2.50	4.711	0.017	
92300	3.00	4.102	0.020	
82000	3.50	3.644	0.023	



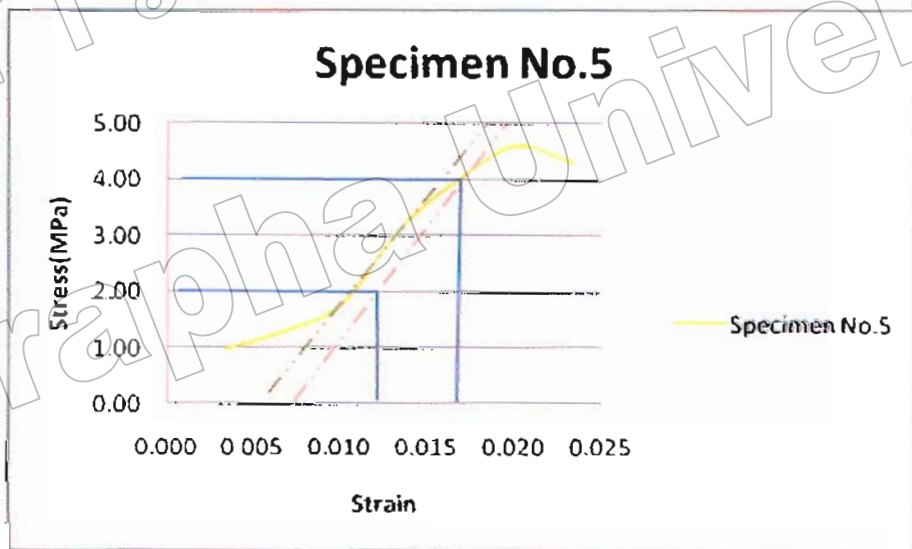
รูปที่ 4.5 รูปแสดงความสัมพันธ์ระหว่าง Stress กับ Strain ของก้อนตัวอย่างที่ 4

จากรูปที่ 4.4 จะได้ค่า Stress Max อยู่ที่ 5.7 MPa และในความสัมพันธ์ระหว่าง Stress กับ Strain

$$\text{เราจะได้ค่า } E = \frac{\Delta Y}{\Delta X} = \frac{5.7 - 3}{0.0135 - 0.01} = 771.4 \text{ MPa}$$

ตารางที่ 4.5 บันทึกผลการทดลองการรับกำลังอัดของก้อนศิลาแดง

Specimen No.5				
Load (N)	Deformation(mm)	Stress(MPa)	Strain	Minimum Stress(MPa)
21600	0.50	0.960	0.003	4.65
28700	1.00	1.276	0.007	
39700	1.50	1.764	0.010	
69800	2.00	3.102	0.013	
89700	2.50	3.987	0.017	
103500	3.00	4.600	0.020	
96700	3.50	4.298	0.023	



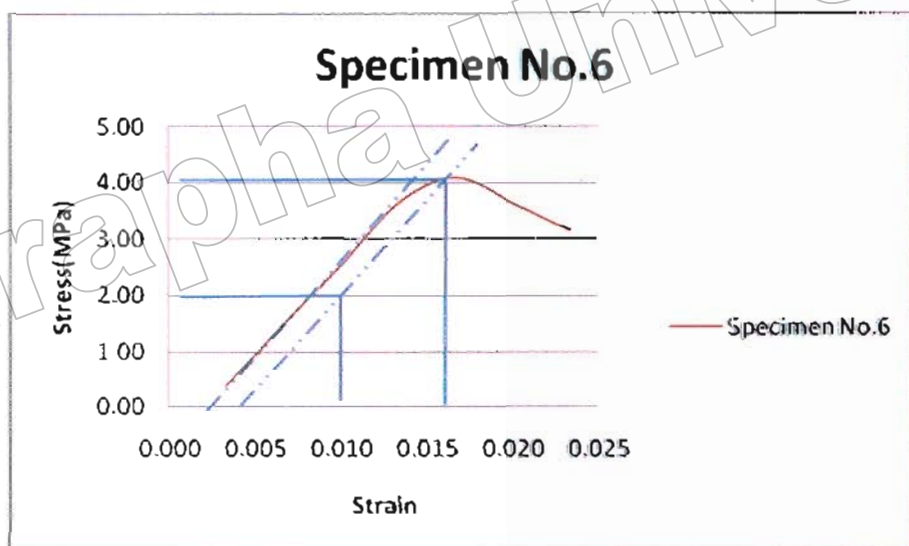
รูปที่ 4.6 รูปแสดงความสัมพันธ์ระหว่าง Stress กับ Strain ของก้อนตัวอย่างที่ 5

จากรูปที่ 4.5 จะได้ว่า Stress Max อยู่ที่ 4.65 MPa และในความสัมพันธ์ระหว่าง Stress กับ

$$\text{Strain เราจะได้ค่า } E = \frac{\Delta Y}{\Delta X} = \frac{4 - 2}{0.016 - 0.011} = 400 \text{ MPa}$$

ตารางที่ 4.6 บันทึกผลการทดลองการรับกำลังอัดของก้อนศิลาแลง

Specimen No.6				
Load (N)	Deformation(mm)	Stress(MPa)	Strain	Minimum Stress(MPa)
8900	0.50	0.396	0.003	4.12
33700	1.00	1.498	0.007	
57300	1.50	2.547	0.010	
82100	2.00	3.649	0.013	
92300	2.50	4.102	0.017	
82300	3.00	3.658	0.020	
71200	3.50	3.164	0.023	



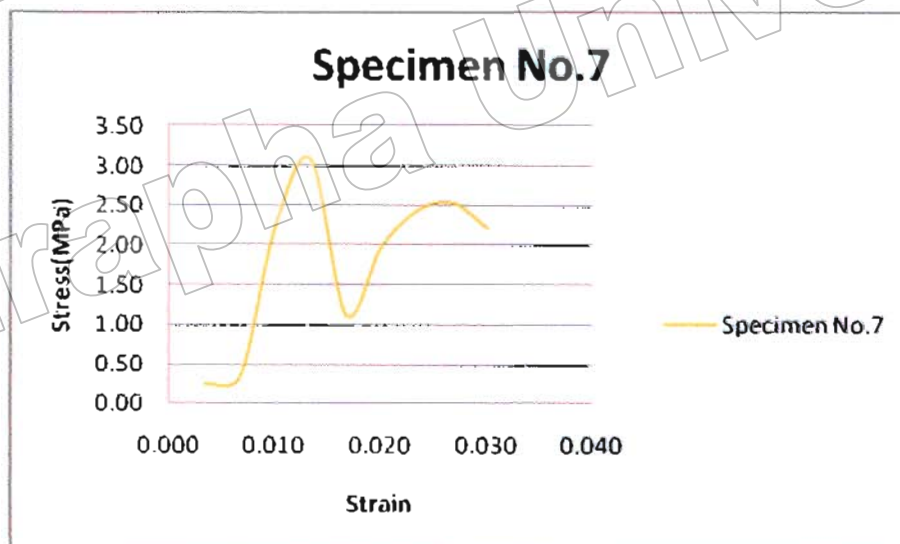
รูปที่ 4.7 รูปแสดงความสัมพันธ์ระหว่าง Stress กับ Strain ของก้อนตัวอย่างที่ 6

จากรูปที่ 4.6 จะได้ค่า Stress Max อยู่ที่ 4.12 MPa และในความสัมพันธ์ระหว่าง Stress กับ

Strain เราจะได้ค่า $E = \frac{\Delta Y}{\Delta X} = \frac{4.1 - 2}{0.0155 - 0.009} = 323.1 \text{ MPa}$

ตารางที่ 4.7 บันทึกผลการทดลองการรับกำลังอัดของก้อนศิลาแลง

Specimen No.7				
Load (N)	Deformation(mm)	Stress(MPa)	Strain	Minimum Stress(MPa)
5800	0.50	0.258	0.003	
7700	1.00	0.342	0.007	
50300	1.50	2.236	0.010	
69000	2.00	3.067	0.013	
25400	2.50	1.129	0.017	2.68
44500	3.00	1.978	0.020	
54600	3.50	2.427	0.023	
56900	4.00	2.529	0.027	
49700	4.50	2.209	0.030	

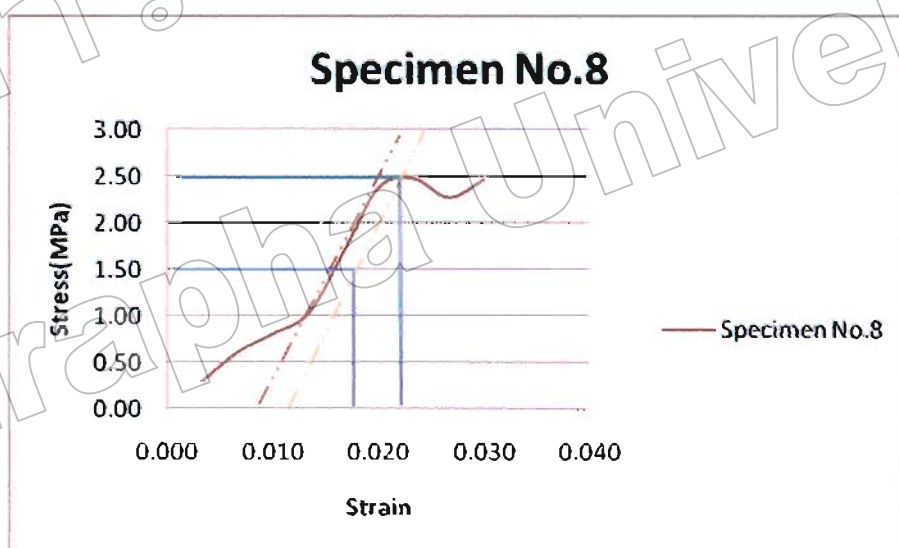


รูปที่ 4.8 รูปแสดงความสัมพันธ์ระหว่าง Stress กับ Strain ของก้อนตัวอย่างที่ 7

ดูจากรูปที่ 4.7 เราจะไม่นำก้อนตัวอย่างนี้มาพิจารณาเนื่องจากที่ดูจากรูปแล้วในการทดลองของก้อนตัวอย่างนี้อาจเกิดความผิดพลาด

ตารางที่ 4.8 บันทึกผลการทดลองการรับกำลังอัดของก้อนศิลาแดง

Specimen No.8				
Load (N)	Deformation(mm)	Stress(MPa)	Strain	Minimum Stress(MPa)
6800	0.50	0.302	0.003	
13800	1.00	0.613	0.007	
18200	1.50	0.809	0.010	
23100	2.00	1.027	0.013	
37900	2.50	1.684	0.017	
53500	3.00	2.378	0.020	2.65
55700	3.50	2.476	0.023	
51100	4.00	2.271	0.027	
55500	4.50	2.467	0.030	



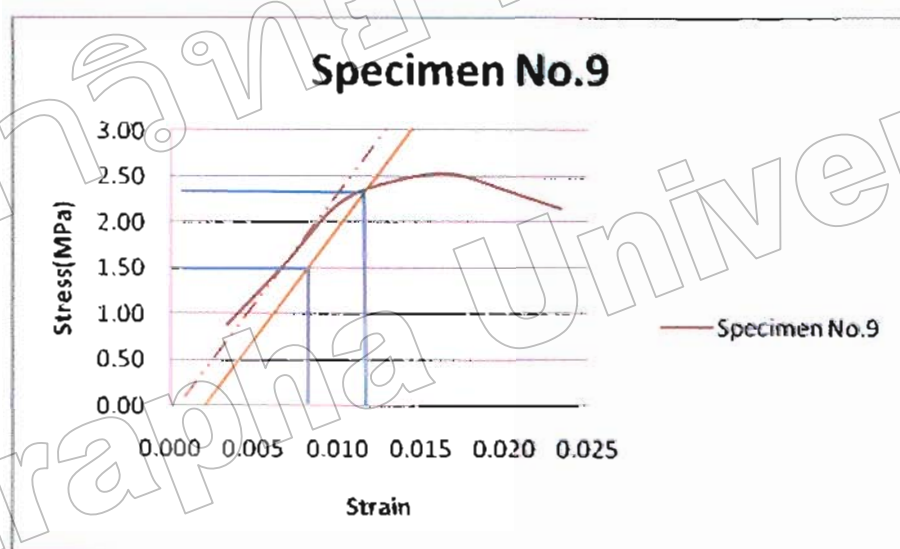
รูปที่ 4.9 รูปแสดงความสัมพันธ์ระหว่าง Stress กับ Strain ของก้อนตัวอย่างที่ 8

จากรูปที่ 4.6 จะได้ค่า Stress Max อยู่ที่ 2.65 MPa และในความสัมพันธ์ระหว่าง Stress กับ

$$\text{Strain เราจะได้ค่า } E = \frac{\Delta Y}{\Delta X} = \frac{2.5 - 1.5}{0.021 - 0.016} = 200 \text{ MPa}$$

ตารางที่ 4.9 บันทึกผลการทดลองการรับกำลังอัดของก้อนศิลาแลง

Specimen No.9				
Load (N)	Deformation(mm)	Stress(MPa)	Strain	Minimum Stress(MPa)
19800	0.50	0.880	0.003	2.71
34200	1.00	1.520	0.007	
49500	1.50	2.200	0.010	
55100	2.00	2.449	0.013	
56800	2.50	2.524	0.017	
52700	3.00	2.342	0.020	
48200	3.50	2.142	0.023	



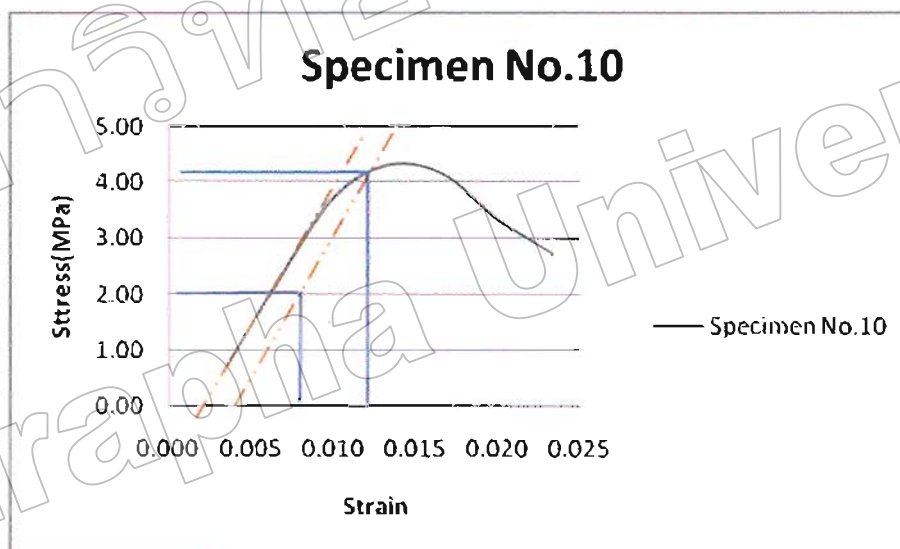
รูปที่ 4.10 รูปแสดงความสัมพันธ์ระหว่าง Stress กับ Strain ของก้อนตัวอย่างที่ 9

จากรูปที่ 4.9 จะได้ค่า Stress Max อยู่ที่ 2.71 MPa และในความสัมพันธ์ระหว่าง Stress กับ

$$\text{Strain เราจะได้ค่า } E = \frac{\Delta Y}{\Delta X} = \frac{2.4 - 1.5}{0.011 - 0.007} = 225 \text{ MPa}$$

ตารางที่ 4.10 บันทึกผลการทดลองการรับกำลังอัดของก้อนศิลาแดง

Specimen No.10				
Load (N)	Deformation(mm)	Stress(MPa)	Strain	Minimum Stress(MPa)
14000	0.50	0.622	0.003	4.49
50500	1.00	2.244	0.007	
83600	1.50	3.716	0.010	
96800	2.00	4.302	0.013	
93100	2.50	4.138	0.017	
75000	3.00	3.333	0.020	
61100	3.50	2.716	0.023	



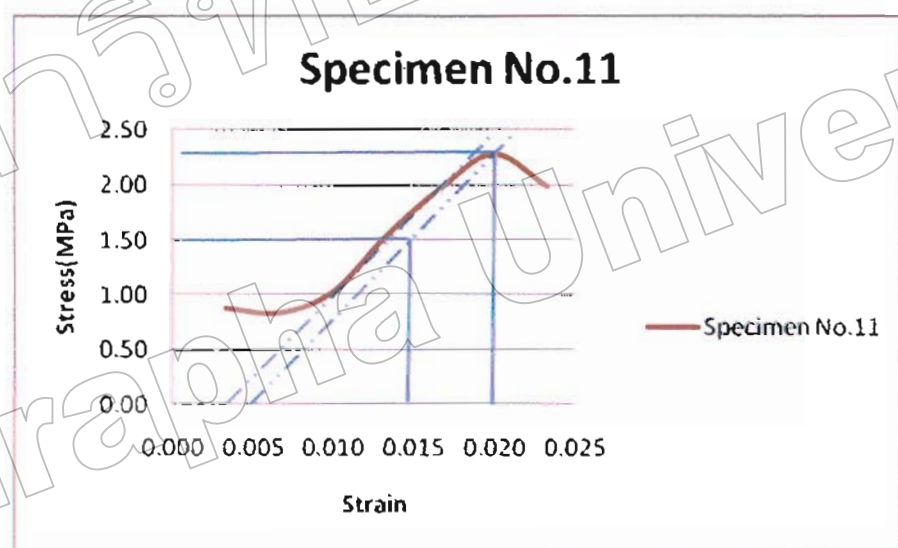
รูปที่ 4.11 รูปแสดงความสัมพันธ์ระหว่าง Stress กับ Strain ของก้อนตัวอย่างที่ 10

จากรูปที่ 4.10 จะได้ค่า Stress Max อยู่ที่ 4.49 MPa และในความสัมพันธ์ระหว่าง Stress กับ

$$\text{Strain เราจะได้ค่า } E = \frac{\Delta Y}{\Delta X} = \frac{4.1 - 2}{0.012 - 0.007} = 420 \text{ MPa}$$

ตารางที่ 4.11 บันทึกผลการทดลองการรับกำลังอัดของก้อนศิลาแดง

Specimen No.11				
Load (N)	Deformation(mm)	Stress(MPa)	Strain	Minimum Stress(MPa)
19700	0.50	0.876	0.003	2.28
18700	1.00	0.831	0.007	
23000	1.50	1.022	0.010	
34500	2.00	1.533	0.013	
44100	2.50	1.960	0.017	
51200	3.00	2.276	0.020	
44600	3.50	1.982	0.023	



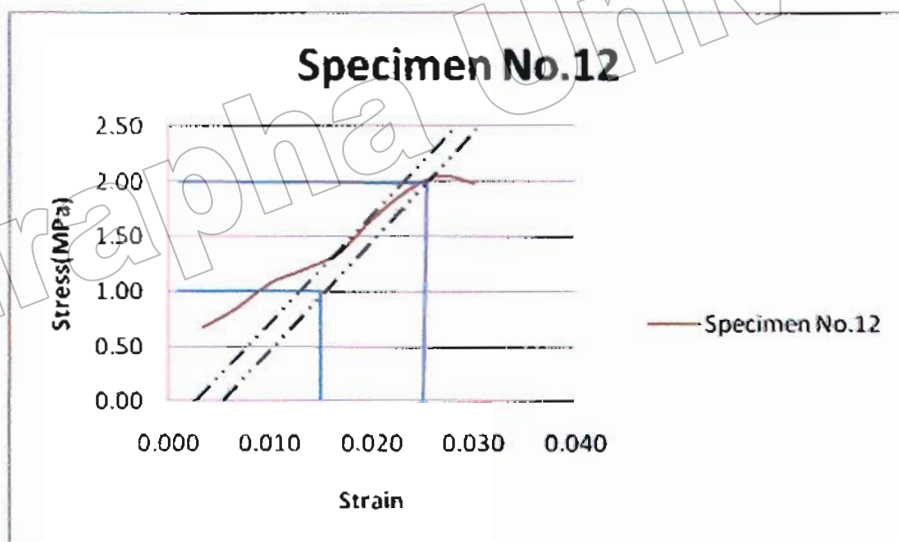
รูปที่ 4.12 รูปแสดงความสัมพันธ์ระหว่าง Stress กับ Strain ของก้อนตัวอย่างที่ 11

จากรูปที่ 4.11 จะได้ค่า Stress Max อยู่ที่ 2.28 MPa และในความสัมพันธ์ระหว่าง Stress กับ

$$\text{Strain เราจะได้ค่า } E = \frac{\Delta Y}{\Delta X} = \frac{2.35 - 1.5}{0.02 - 0.0145} = 154.5 \text{ MPa}$$

ตารางที่ 4.12 บันทึกผลการทดลองการรับกำลังอัดของก้อนศิลาแลง

Specimen No.12				
Load (N)	Deformation(mm)	Stress(MPa)	Strain	Minimum Stress(MPa)
15100	0.50	0.671	0.003	2.19
19000	1.00	0.844	0.007	
24200	1.50	1.076	0.010	
27000	2.00	1.200	0.013	
30300	2.50	1.347	0.017	
37200	3.00	1.653	0.020	
42900	3.50	1.907	0.023	
46100	4.00	2.049	0.027	
44600	4.50	1.982	0.030	



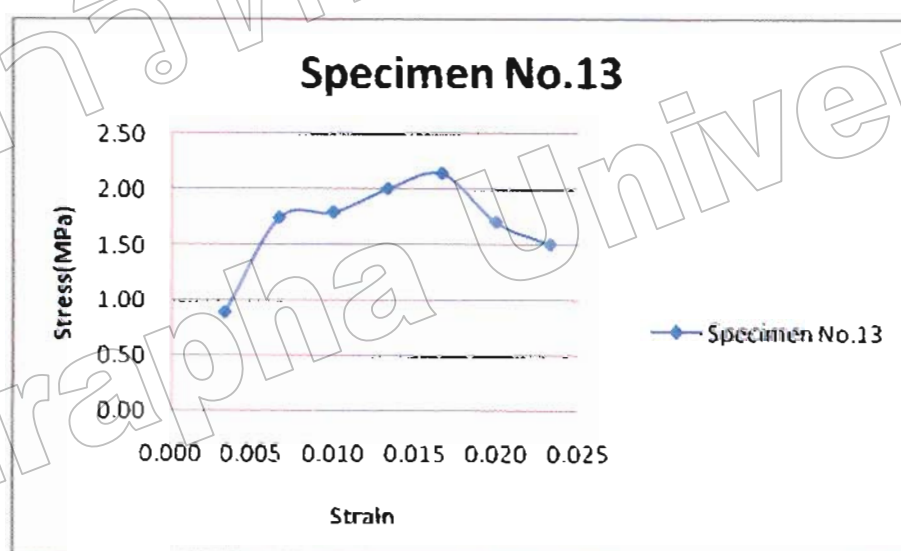
รูปที่ 4.13 รูปแสดงความสัมพันธ์ระหว่าง Stress กับ Strain ของก้อนตัวอย่างที่ 12

จากรูปที่ 4.12 จะได้ว่า Stress Max อยู่ที่ 2.19 MPa และในความสัมพันธ์ระหว่าง Stress กับ

$$\text{Strain เราจะได้ค่า } E = \frac{\Delta Y}{\Delta X} = \frac{2 - 1}{0.025 - 0.014} = 90.9 \text{ MPa}$$

ตารางที่ 4.13 บันทึกผลการทดลองการรับกำลังอัดของก้อนศิลาแลง

Specimen No.13				
Load (N)	Deformation(mm)	Stress(MPa)	Strain	Minimum Stress(MPa)
20000	0.50	0.889	0.003	2.30
39100	1.00	1.738	0.007	
40200	1.50	1.787	0.010	
44900	2.00	1.996	0.013	
48000	2.50	2.133	0.017	
38200	3.00	1.698	0.020	
33700	3.50	1.498	0.023	

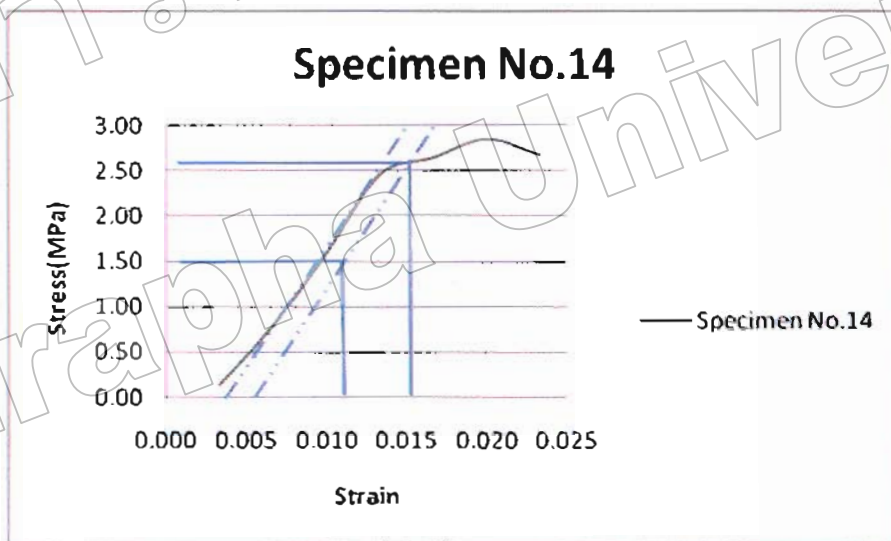


รูปที่ 4.14 รูปแสดงความสัมพันธ์ระหว่าง Stress กับ Strain ของก้อนตัวอย่างที่ 13

จากรูปที่ 4.13 เราจะไม่นำก้อนตัวอย่างนี้มาพิจารณาเนื่องจากที่จากรูปแล้วในการทดลองของก้อนตัวอย่างนี้อาจเกิดความผิดพลาด

ตารางที่ 4.14 บันทึกผลการทดลองการรับกำลังอัดของก้อนศิลาแลง

Specimen No.14				
Load (N)	Deformation(mm)	Stress(MPa)	Strain	Minimum Stress(MPa)
3000	0.50	0.133	0.003	
17700	1.00	0.787	0.007	
35600	1.50	1.582	0.010	
55100	2.00	2.449	0.013	2.97
59300	2.50	2.636	0.017	
63900	3.00	2.840	0.020	
60100	3.50	2.671	0.023	



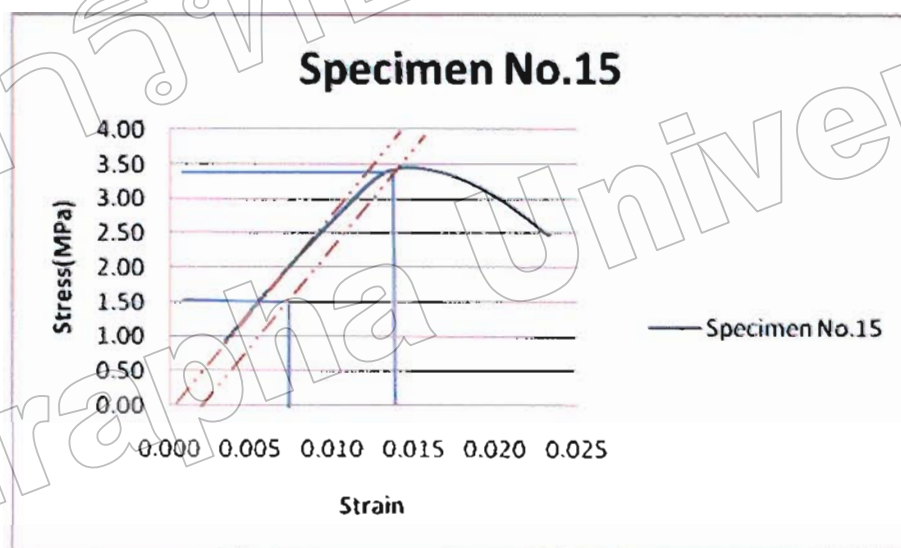
รูปที่ 4.15 รูปแสดงความสัมพันธ์ระหว่าง Stress กับ Strain ของก้อนตัวอย่างที่ 14

จากรูปที่ 4.14 จะได้ค่า Stress Max อยู่ที่ 2.97 MPa และในความสัมพันธ์ระหว่าง Stress กับ

$$\text{Strain เราจะได้ค่า } E = \frac{\Delta Y}{\Delta X} = \frac{2.51 - 1.5}{0.015 - 0.0105} = 224.4 \text{ MPa}$$

ตารางที่ 4.15 บันทึกผลการทดลองการรับกำลังอัดของก้อนศิลาแดง

Specimen No.15				
Load (N)	Deformation(mm)	Stress(MPa)	Strain	Minimum Stress(MPa)
20500	0.50	0.911	0.003	
41600	1.00	1.849	0.007	
60500	1.50	2.689	0.010	
76400	2.00	3.396	0.013	3.46
76200	2.50	3.387	0.017	
68600	3.00	3.049	0.020	
55700	3.50	2.476	0.023	



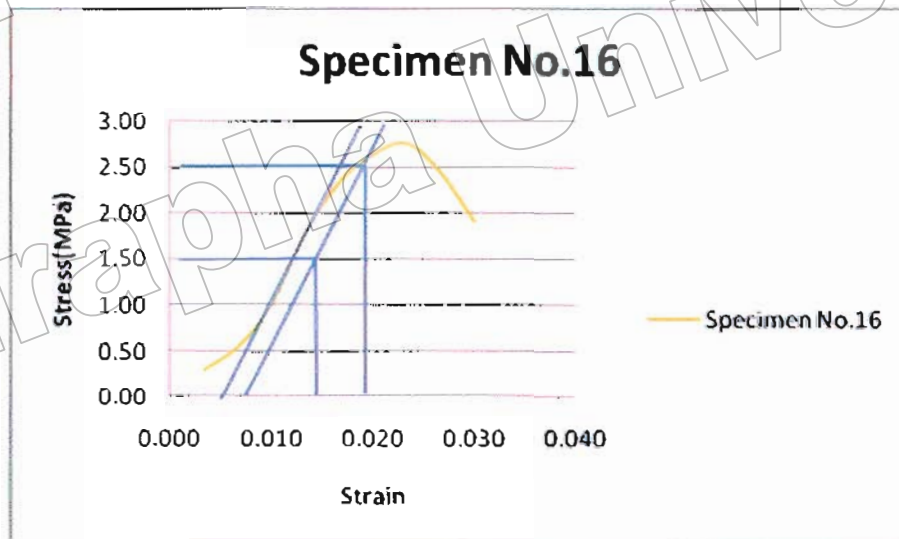
รูปที่ 4.16 รูปแสดงความสัมพันธ์ระหว่าง Stress กับ Strain ของก้อนตัวอย่างที่ 15

จากรูปที่ 4.15 จะ ได้ค่า Stress Max อยู่ที่ 3.46 MPa และในความสัมพันธ์ระหว่าง Stress กับ

$$\text{Strain เราจะได้ค่า } E = \frac{\Delta Y}{\Delta X} = \frac{3.46 - 1.5}{0.014 - 0.007} = 280 \text{ MPa}$$

ตารางที่ 4.16 บันทึกผลการทดลองการรับกำลังอัดของก้อนศิลาแลง

Specimen No.16				
Load (N)	Deformation(mm)	Stress(MPa)	Strain	Minimum Stress(MPa)
6700	0.50	0.298	0.003	
12300	1.00	0.547	0.007	
22600	1.50	1.004	0.010	
39900	2.00	1.773	0.013	
52600	2.50	2.338	0.017	2.91
59400	3.00	2.640	0.020	
62200	3.50	2.764	0.023	
55000	4.00	2.444	0.027	
43100	4.50	1.916	0.030	



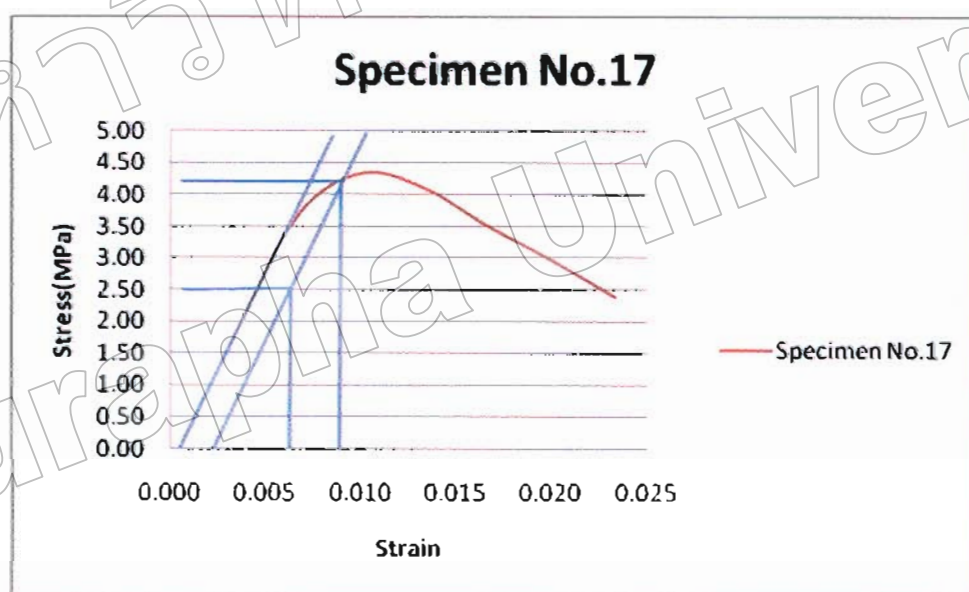
รูปที่ 4.17 รูปแสดงความสัมพันธ์ระหว่าง Stress กับ Strain ของก้อนตัวอย่างที่ 16

จากรูปที่ 4.15 จะได้ว่า Stress Max อยู่ที่ 2.91 MPa และในความสัมพันธ์ระหว่าง Stress กับ

$$\text{Strain เราจะได้ค่า } E = \frac{\Delta Y}{\Delta X} = \frac{2.5 - 1.5}{0.0195 - 0.006} = 74.1 \text{ MPa}$$

ตารางที่ 4.17 บันทึกผลการทดลองการรับกำลังอัดของก้อนศิลาแลง

Specimen No.17				
Load (N)	Deformation(mm)	Stress(MPa)	Strain	Minimum Stress(MPa)
39100	0.50	1.738	0.003	
82600	1.00	3.671	0.007	
97500	1.50	4.333	0.010	
92300	2.00	4.102	0.013	
78800	2.50	3.502	0.017	
66800	3.00	2.969	0.020	
53700	3.50	2.387	0.023	



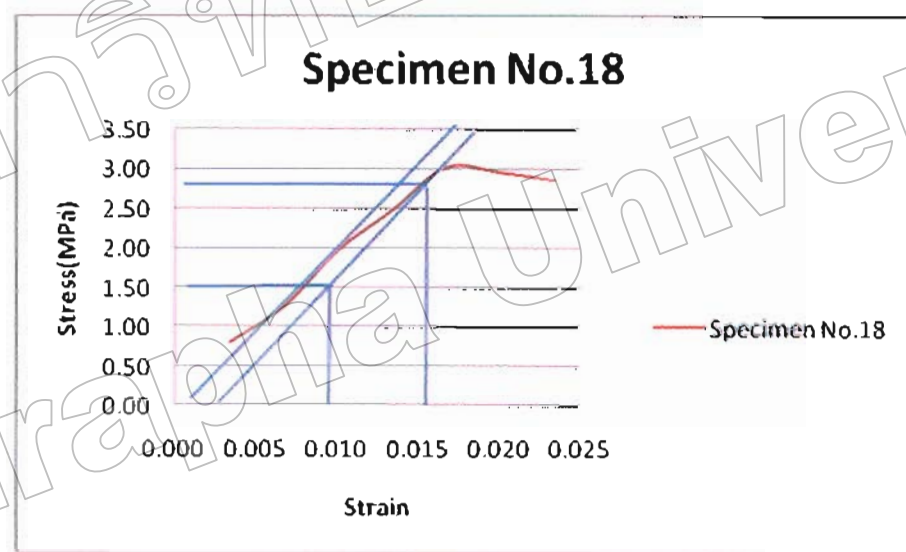
รูปที่ 4.18 รูปแสดงความสัมพันธ์ระหว่าง Stress กับ Strain ของก้อนตัวอย่างที่ 17

จากรูปที่ 4.17 จะได้ค่า Stress Max อยู่ที่ 4.37 MPa และในความสัมพันธ์ระหว่าง Stress กับ

$$\text{Strain เราจะได้ค่า } E = \frac{\Delta Y}{\Delta X} = \frac{4.35 - 2.5}{0.009 - 0.006} = 616.6 \text{ MPa}$$

ตารางที่ 4.18 บันทึกผลการทดลองการรับกำลังอัดของก้อนศิลาแกง

Specimen No.18				
Load (N)	Deformation(mm)	Stress(MPa)	Strain	Minimum Stress(MPa)
18100	0.50	0.804	0.003	
28300	1.00	1.258	0.007	
44500	1.50	1.978	0.010	
55800	2.00	2.480	0.013	3.10
68100	2.50	3.027	0.017	
66700	3.00	2.964	0.020	
64400	3.50	2.862	0.023	



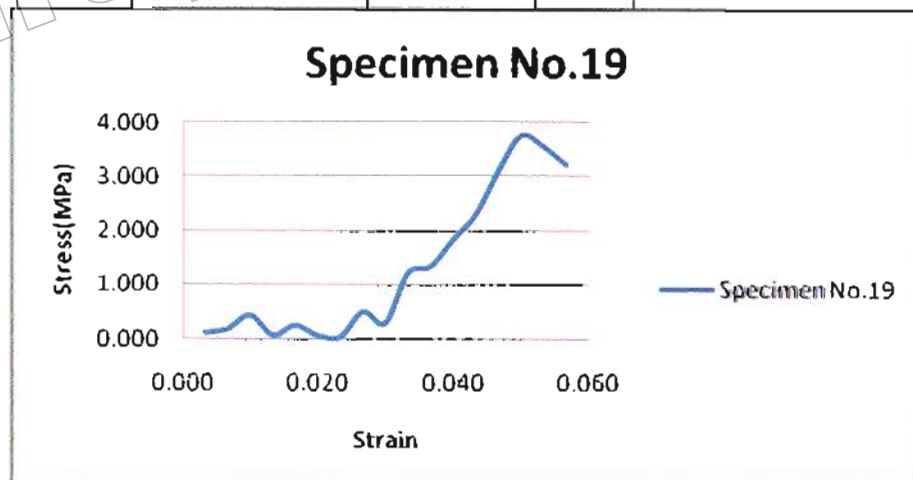
รูปที่ 4.19 รูปแสดงความสัมพันธ์ระหว่าง Stress กับ Strain ของก้อนตัวอย่างที่ 18

จากรูปที่ 4.18 จะได้ว่า Stress Max อยู่ที่ 3.10 MPa และในความสัมพันธ์ระหว่าง Stress กับ

$$\text{Strain เราจะได้ค่า } E = \frac{\Delta Y}{\Delta X} = \frac{2.58 - 1.5}{0.015 - 0.008} = 154.28 \text{ MPa}$$

ตารางที่ 4.19 บันทึกผลการทดลองการรับกำลังอัดของก้อนศิลาแลง

Specimen No.19				
Load (N)	Deformation(mm)	Stress(MPa)	Strain	Minimum Stress(MPa)
2700	0.50	0.120	0.003	3.10
4200	1.00	0.187	0.007	
9800	1.50	0.436	0.010	
1700	2.00	0.076	0.013	
5700	2.50	0.253	0.017	
1600	3.00	0.071	0.020	
1000	3.50	0.044	0.023	
11200	4.00	0.498	0.027	
6600	4.50	0.293	0.030	
27300	5.00	1.213	0.033	
30000	5.50	1.333	0.037	
41200	6.00	1.831	0.040	
51600	6.50	2.293	0.043	
69600	7.00	3.093	0.047	
84200	7.50	3.742	0.050	
79600	8.00	3.538	0.053	
72100	8.50	3.204	0.057	

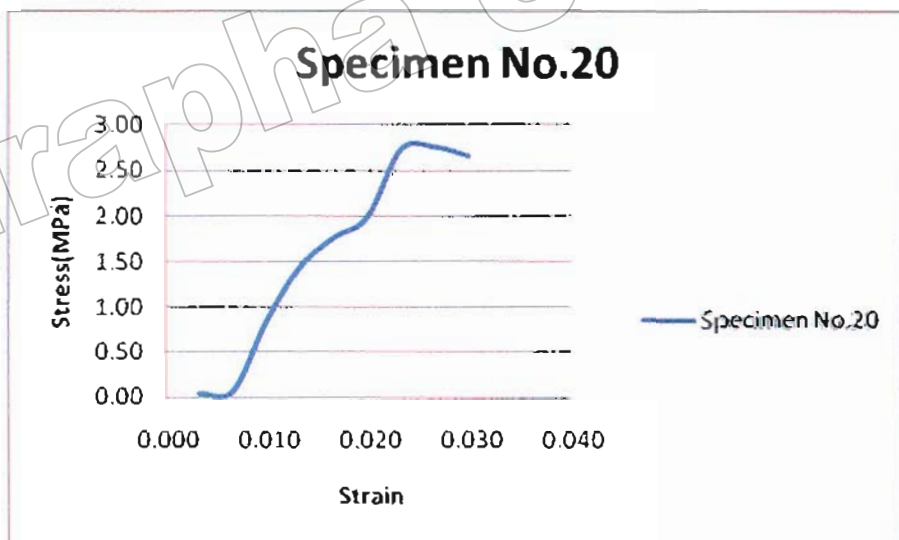


รูปที่ 4.20 รูปแสดงความสัมพันธ์ระหว่าง Stress กับ Strain ของก้อนตัวอย่างที่ 19

ดูจากรูปที่ 4.19 เราจะไม่นำก้อนตัวอย่างนี้มาพิจารณาเนื่องจากที่ดูจากรูปแล้วในการทดลองของก้อนตัวอย่างนี้อาจเกิดความผิดพลาด

ตารางที่ 4.20 บันทึกผลการทดลองการรับกำลังอัดของก้อนศิลาแดง

Specimen No.20				
Load (N)	Deformation(mm)	Stress(MPa)	Strain	Minimum Stress(MPa)
1000	0.50	0.044	0.003	3.10
1600	1.00	0.071	0.007	
19000	1.50	0.844	0.010	
32500	2.00	1.444	0.013	
39600	2.50	1.760	0.017	
44600	3.00	1.982	0.020	
61200	3.50	2.720	0.023	
61800	4.00	2.747	0.027	
59600	4.50	2.649	0.030	



รูปที่ 4.21 รูปแสดงความสัมพันธ์ระหว่าง Stress กับ Strain ของก้อนตัวอย่างที่ 20

ดูจากรูปที่ 4.20 เราจะไม่นำก้อนตัวอย่างนี้มาพิจารณาเนื่องจากที่ดูจากรูปแล้วในการทดลองของก้อนตัวอย่างนี้อาจเกิดความผิดพลาด

จากการทดลองการรับกำลังอัดของศิลาแดงจะได้ค่า Minimum Stress(MPa)มีค่าอยู่ระหว่าง

2.19 ถึง 5.74 MPa และได้ค่า E อยู่ที่ 74.1 ถึง 771.4 MPa

Minimum Stress Average = 3.46 MPa

E Average = 316.09 MPa

มหาวิทยาลัยบูรพา
Burapha University

4.5 การหาค่าแรงค้ำของศิลาแดง (Harden Laterite or Brickstone) FLEXURAL STRENGTH OF Harden Laterite or Brickstone [6,8]

ตารางที่ 4.21 บันทึกผลการทดลอง Data Monitor Determination:

Data Test (UTM)					
No.	Weight (Kg.)	Dimension of Specimen (mm)			Stress(MPa)
		B (mm)	H (mm)	Max Load (N)	
1	17.3	96.9	154.9	4540	1.05
2	17.2	106	147.5	3130	0.07
3	17	103.6	158.9	3070	0.06
4	17	99.9	144.1	4410	0.11
5	17.1	102.8	149	3330	0.08
6	16.9	100.9	156	3560	0.08
7	17.3	105.5	150.4	3100	0.07
8	16.4	103.9	154.4	1120	0.02
9	17.7	102.6	160.7	740	0.02
10	15.7	100.8	151.9	2970	0.07
11	17.4	98.3	159.1	6740	0.15
12	17.3	101.3	154.4	3060	0.07
13	18.4	103.3	157.2	4780	0.10
14	16.6	97.2	152.3	4030	0.10
15	17	105.2	154.8	4360	0.09
16	17.2	107.4	147.1	3790	0.09
17	17.7	103.8	155.5	4370	0.09
18	17.2	104.5	154.9	3260	0.07
19	16.8	100.6	159.2	2520	0.05
20	18.4	103.3	152	5120	0.12

รายการคำนวณตำแหน่งหน้าตัดที่วิตกกังวลรับแรงค้ำหรือโมเมนต์การแตกหักจากสมการดังนี้

$$\sigma_f = \frac{Mc}{I} = \frac{3PL}{2bh^2}$$

รายการคำนวณ ยกตัวอย่างตัวอย่างทดสอบที่ 1

$$\sigma_f = \frac{3PL}{2bh^2} = \frac{3(4540)(450)}{2(96.9)(154.9^2)} = 1.05 \text{ MPa}$$

Minimum Stress Average = 0.13 MPa

มหาวิทยาลัยบูรพา
Burapha University

4.6 การหาค่าแรงเฉือนของศิลาแลง (Harden Laterite or Brickstone) SHEREFORCE TEST OF Harden Laterite or Brickstone [6,8,10]

ตารางที่ 4.22 บันทึกผลการทดลอง

Item	Weight (g.)	Shear area (mm)	Maximum shear Force (N)	stress (MPa)
1	276.5	1479	1010	0.68
2	232.6	1404	1120	0.80
3	257.8	1275	1300	1.02
4	200.7	1222	860	0.70
5	259.2	1300	970	0.75
6	215	1269	1030	0.81
7	226.1	1150	670	0.58
8	193	1410	550	0.39
9	288.7	1275	890	0.70
10	203	1188	570	0.48

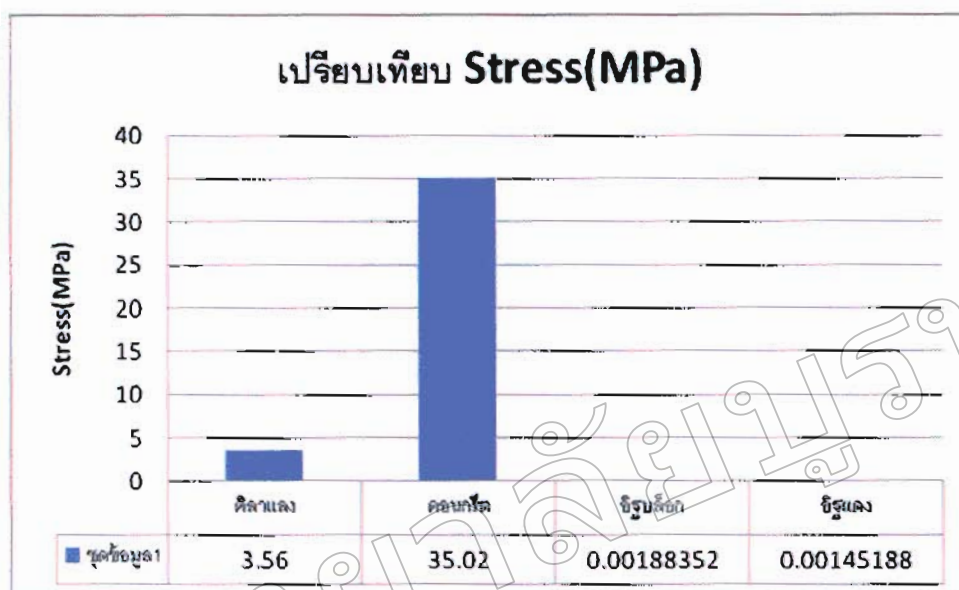
ตัวอย่างการคำนวณ ตัวอย่างที่ 1

Shear Strength of ศิลาแลง

$$\text{Shear Strength} = \frac{\text{Load}}{\text{Area}} = \frac{1010}{1497} = 0.68 \text{ MPa}$$

$$\text{Shear Strength Average} = 0.69 \text{ MPa}$$

4.7 การเปรียบเทียบกำลังอัดของศิลาแลง กับวัสดุที่แตกต่างกัน



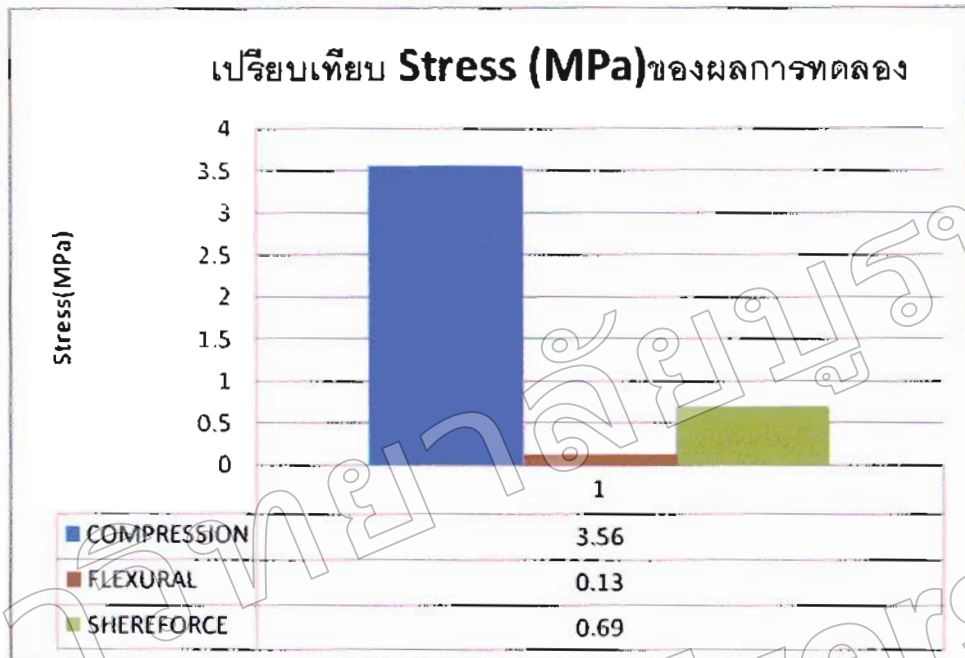
รูปที่ 4.22 แสดงการเปรียบเทียบ Stress กับคอนกรีต, อิฐบล็อกและอิฐมอญ

จากรูป คอนกรีตจะสามารถ รับกำลัง ได้สูงสุด และลดลงมากก็เป็นศิลาแลง อิฐบล็อก และอิฐ

แดงตามลำดับ จากรูปที่ ที่มีความกดขีมน้ำที่น้อยก็จะทำให้มีกำลังเพิ่มขึ้นด้วยตามลำดับ

4.8 การรับกำลังของคิยามลงในลักษณะที่ต่างกัน

การเปรียบเทียบ Stress ลักษณะการรับกำลังของวัสดุ การใช้วัสดุคิยามแรงที่ให้ค่าคุณสมบัติสูงสุดควรเลือกคุณสมบัติทางวิศวกรรมที่สามารถรับกำลังให้ได้กำลังที่สูงที่สุด



รูปที่ 4.23 เปรียบเทียบค่า Stress ของแต่ละผลการทดลอง

คิดเป็นร้อยละเทียบกับ ค่าCompression

Flexural จะ ได้ = 3.56% ของ Compression

Shereforce จะ ได้ = 19.38 ของ Compression

ซึ่งการเลือกใช้งานควรที่จะเลือกใช้ในการรับแรงอัดมากที่สุด จึงจะดีที่สุดต่อการเลือกใช้วัสดุมาใช้ในงานก่อสร้าง เช่น กำแพงเสา คานัง ไม่เหมาะสมที่จะนำมาทำเป็นคานเพราะจะสามารถรับได้แค่ 3.56% ของแรงอัด

บทที่ 5 สรุปผล

จากรูปที่ 4.1 ในส่วนของผนังถ้ำนำศิลาแลงมาทำผนัง ศิลาแลงจะสามารถดูดซึมน้ำได้น้อยที่สุดไม่นับคอนกรีต ส่วนข้อเสียของศิลาแลงคือศิลาแลงเป็นวัสดุที่เกิดจากธรรมชาติก่อนที่จะนำมาใช้งานได้จะต้องนำมาคบแต่งเพื่อให้เข้ากับลักษณะงานก่อนเพื่อความสะดวกรวดเร็วในการใช้งาน

จากผลการทดลองพบว่า ศิลาแลงมีค่ากำลังอัดมากพอที่จะนำมาใช้เป็นส่วนของผนังอาคารที่รับน้ำหนักของหลังคาได้ แต่ไม่เหมาะที่จะใช้เป็นส่วนของอาคารที่รับโมเมนต์คัต ทั้งนี้หน่วยแรงคัตสูงสุดโดยเฉลี่ยมีค่าอยู่ระหว่างร้อยละ 0.57-3.7 ส่วนกำลังเฉือนของศิลาแลงที่ทดสอบพบว่ามีค่าค่อนข้างสูงทำให้การใช้งานในการก่อสร้างมีความเหมาะสม

ในบทนี้ ผลการทดลองหน่วยแรงคัตปรากฏว่าสามารถเขียนกราฟระหว่าง ระยะโก่งกับหน่วยแรงคัตได้ แสดงว่าศิลาแลงตัวอย่างที่ทดสอบมีกำลังดึงอยู่ด้วย (Tensile strength) แต่ในการงานก่อสร้างเราจะไม่ใช้คุณสมบัติส่วนนี้มาคำนวณ

เอกสารอ้างอิง

1. Maignien,R. Review of research on laterites Net. Resonr. Res UNESCO , Paris 148 P., 1966.
2. <http://deaw12.exteen.com/20080824/laterite/> January, 2010
3. [http:// www3.ipst.ac.th/secondsci/files/knowledge/laterite.htm](http://www3.ipst.ac.th/secondsci/files/knowledge/laterite.htm), January, 2010
4. ASTM Standard C 170 90 Standard Test Method for Compressive Strength of Dimension Stone',1999
5. นางสาวจงกลณี วรรณเพ็ญสกุล , สมบัติทางเคมีและวิทยาของดินที่มีสีเทาและสีเทาอ่อนในภาคเหนือของประเทศไทย โดย บัณฑิตวิทยาลัย มหาวิทยาลัยเกษตรศาสตร์, 2545, P 43-105
6. รศ.สุกิจ นามพิชญ์, คู่มือการทดลองเล่มที่ 2 การทดสอบวิศวกรรมโยธา (Materials Testing in civil Engineering. CivilLabPro Version 1.0 ฉบับวิจัย งบประมาณ 2547- 2548, P.178-186
7. ASTM Standard C 121 – 90 Standard Test Method for Water Absorption of Slate',1999
8. ASTM Standard C 293-79 Standard testing Method for Flexural Strength of Concrete (Using Simple Beam with Center – Point Loading), 1999
9. ผศ. ดร. สิทธิชัย แสงอาทิตย์, สาขาวิชาวิศวกรรมโยธา สำนักวิชาวิศวกรรมศาสตร์ มหาวิทยาลัยเทคโนโลยีสุรนารีมกราคม, 2545, P.5-14
10. B.M. Sunil, Sitaram Nayak, S. Shrihari , Effect of pH on the geotechnical properties of laterite , Engineering Geology,2005, P 198.

ศึกษาคุณสมบัติทางวิศวกรรมของศิลาแลงในเขตจังหวัดปราจีนบุรี

Engineering Characterization of Harden Laterite or Brickstone in the

Prachinburi province

ชื่อนิสิต : นาย สุนทร สมประมัย และนาย โยธิน จันทกานนท์

ชื่ออาจารย์ที่ปรึกษา : ผศ.ประวัติศิริ ตั้งวัฒนากุล

ภาควิศวกรรมโยธา คณะวิศวกรรมศาสตร์ มหาวิทยาลัยบูรพา

บทคัดย่อ

ศิลาแลง (Harden Laterite or Brickstone) เป็นวัสดุก่อสร้างที่ได้จากธรรมชาติ ในโครงการนี้จะศึกษาคุณสมบัติทางกายภาพและคุณสมบัติเชิงกลของศิลาแลงที่ได้จากแหล่งผลิตในจังหวัดปราจีนบุรี เพื่อใช้เป็นวัสดุก่อสร้างอาคารต่างๆ การทดสอบในห้องปฏิบัติการจะทดสอบหาค่าการดัดตัวของตัวอย่างศิลาแลงและทำการทดสอบกำลังอัด (Compressive Strength) การทดสอบการดัด (Flexural Tests) และการทดสอบการเฉือน (Shear Strength) ของก้อนตัวอย่างทดลอง ในโครงการนี้จะเปรียบเทียบคุณสมบัติของศิลาแลงกับอิฐมอญและคอนกรีตบดอัด

คำสำคัญ : ศิลาแลง ; การดัด ; กำลังอัด ; กำลังดัด ; หน่วยแรงเฉือน

บทที่ 1

บทนำ

1.1 ปัญหาและที่มา

ในปัจจุบันการก่อสร้างได้เปลี่ยนวิวัฒนาการในการใช้วัสดุที่ทันสมัยจากยุคโบราณ เช่น โครงสร้างที่เป็น

คอนกรีตเสริมเหล็ก โครงสร้างที่เป็นเหล็ก คุณสมบัติที่นำมาใช้งานนี้ความสามารถทางวิศวกรรม เป็นที่ยอมรับแบบสากล วัสดุที่ใช้ในการก่อสร้างทุกวันนี้ก็มีต้นทุนที่สูงเพราะในการผลิตมีกระบวนการที่ยากอย่างการถลุงเหล็กเพื่อนำมาเป็นเหล็กเสริมคอนกรีต หรือเพื่อนำมาใช้เป็น โครงสร้างเหล็ก

ด้วยเหตุนี้ถ้าเราก่อสร้างโดยใช้วัสดุตามท้องถิ่นที่มีวัสดุรองรับก็จะทำให้การก่อสร้างมีงบประมาณการก่อสร้างที่ลดลง ในยุคโบราณสิ่งก่อสร้างที่เราเห็นกันอยู่ทุกวันนี้ และยังมีโครงสร้างที่แข็งแรง เราจะเห็นว่าวัสดุที่นำมาใช้งาน ก็เป็น หินศิลาแลง(Harden Laterite or Brickstone) และยังพบว่า หินศิลาแลง(Harden Laterite or Brickstone) นี้มีใช้ตั้งแต่ในอดีต ไม่ได้ใช้แค่ประเทศไทยอย่างเดียวต่างประเทศก็นำวัสดุนี้มาใช้ในการก่อสร้างเหมือนกัน

แหล่งของศิลาแลงที่ได้ทำการศึกษาอยู่ในเขตของจังหวัดปราจีนบุรีและยังพบว่าแหล่งที่มีการผลิตวัตถุดิบศิลาแลงได้มีการนำศิลาแลงมาทำ

การก่อสร้างเป็นบ้านพักอาศัยมากมายไม่ได้นำมาเป็นวัสดุปูทางทำอย่างเดียวยังได้มีการนำมาทำเป็นวัสดุก่อสร้างบ้านเรือนอาคาร โดยการนำศิลาแลงมาก่อเป็นกำแพงบ้าน นำมาก่อเป็นกำแพงทั้งวัดหรือ แม้แต่บ้านเรือนที่พักอาศัย

การศึกษาโครงการนี้ จะได้ทราบถึงลักษณะทางวิศวกรรมของศิลาแลงเพิ่มมากขึ้น และจะได้ใช้ประโยชน์จากวัสดุที่มีอยู่แล้วได้อย่างเต็มประสิทธิภาพ และเลือกใช้ได้อย่างถูกต้อง

1.2 วัตถุประสงค์

เพื่อศึกษาเกี่ยวกับคุณสมบัติทางวิศวกรรมของศิลาแลงจากแหล่งที่มีอยู่ในจังหวัดปราจีนบุรี

1.3 ขอบเขตและการศึกษา

- ศึกษากำลังรับแรงอัดในแกนตั้งฉากของศิลาแลง ของจังหวัดปราจีนบุรี
- ศึกษาความสามารถการดูดซึมน้ำของศิลาแลง ของจังหวัดปราจีนบุรี
- ศึกษาความสามารถการรับแรงค้ำของศิลาแลง ของจังหวัดปราจีนบุรี
- ศึกษาความสามารถการรับแรงเฉือนของศิลาแลง ของจังหวัดปราจีนบุรี

ประโยชน์ที่คาดว่าจะได้รับ

1. ได้ทราบถึงคุณสมบัติทางวิศวกรรมของศิลาแลงจากแหล่งศิลาแลงในจังหวัดปราจีนบุรี
2. ได้เปรียบเทียบคุณสมบัติทางวิศวกรรมของศิลาแลงจากแหล่งศิลาแลงในจังหวัดปราจีนบุรี กับอิฐมอญ และอิฐบล็อกคอนกรีต

บทที่ 2

ทฤษฎีที่เกี่ยวข้อง

ในบทนี้จะกล่าวถึงลักษณะการเกิดศิลาแลง(Harden Laterite or Brickstone) แล่งและอธิบายถึงสมการที่เกี่ยวข้องใช้คำนวณในการทดลองของศิลาแลงนี้

ศิลาแลง(Harden Laterite or Brickstone) จึงเป็นผลผลิตจากการเปลี่ยนสภาพของหินชนิดต่าง ๆ ซึ่งหินแต่ละชนิดที่อยู่ในธรณีสัณฐานต่างกัน ก็จะให้ลักษณะของศิลาแลงที่แตกต่างกันด้วย หินที่เป็นแหล่งกำเนิดศิลาแลง(Harden Laterite or Brickstone)ที่ดีมักจะมีส่วนประกอบของเหล็ก และอะลูมิเนียมมาก เช่น หินบะซอลต์ หินแกรนิต หินชีสต์ หินดินดาน หินทรายสีแดง เป็นต้น[3]

2.1 การเกิดของศิลาแลง (Harden Laterite or Brickstone)

ศิลาแลงเกิดขึ้นได้ในสภาพภูมิอากาศร้อนชื้น ฝนตกมาก แต่แล้งนานด้วยในฤดูฝนน้ำใต้ดินมีระดับสูง ทำให้ท่วมคอนบนของชั้นดิน (ซึ่งต่อไปกลายเป็นศิลาแลง) ระหว่างนั้น น้ำฝนจะละลายเอาสารประกอบอะลูมิเนียมออกไซด์เอาไว้เมื่อถึงหน้าแล้ง น้ำใต้ดินลดระดับต่ำลง ก็พาเอาสารประกอบอะลูมิเนียมลงไปสู่ที่ต่ำ เวลานานเข้า วัสดุบริเวณด้านบนจึงมีสารประกอบเหล็กออกไซด์มากขึ้น และมารวมกันเป็นกลุ่ม จึงเกิดเป็นโพรงว่างเป็นทางให้น้ำใต้ดินซึมขึ้นลงได้ง่ายขึ้น และชะสารประกอบอะลูมิเนียมออกไซด์ออกไปเร็วด้วย ทำให้ศิลาแลงมีลักษณะเด่น คือ มีรูพรุนทั่วไป และเนื้อเป็นสารประกอบเหล็กออกไซด์มากกว่าอะลูมิเนียมออกไซด์[2]

ศิลาแลงสามารถแบ่งตามกระบวนการเกิดได้เป็น 2 กลุ่มใหญ่ คือ

2.1.1. ศิลาแลงที่เกิดจากการผุพังอยู่กับที่ของหินในพื้นที่

ศิลาแลงที่เกิดจากการผุพังอยู่กับที่ของหินในพื้นที่ ประกอบด้วยชั้นที่สำคัญ คือ

-ชั้นดินคอนบนประกอบด้วยทราย ดินเหนียว และซากพืช จัดเป็นดินพื้นผิวโดยสารละลายของแร่เหล็กถูกชะล้างลงไปสะสมตัวชั้นล่าง

-สารละลายของแร่เหล็กและแมงกานีสออกไซด์ที่สะสมตัวเป็นชั้นแข็งจากการแล้งไกวของระดับน้ำบาดาล และอาจจะจับตัวกันเป็นเม็ด

มีรูปร่างมนจนถึงกลม มีขนาดต่าง ๆ กัน และเม็ดเหล่านี้อาจเชื่อมประสานเป็นแผ่นเดียวกัน มีลักษณะเป็นชั้นแข็ง (duricrust) ชั้นนี้ คือ ชั้น "ศิลาแลง" หรือชั้นที่ชาวบ้านเรียกว่า "แม่รัง"

- ชั้นดินเหนียวจุดประ (mottled clay) เป็นชั้นที่อยู่ถัดจากชั้นศิลาแลงลงไปอาจมีสารละลายของแร่เหล็กและแมงกานีสพอกพูนเป็นเม็ด ๆ ปะปนอยู่บ้างชาวบ้านเรียกว่า "ลูกรัง" มีความหนาไม่แน่นอน รอยต่อระหว่างชั้นนี้กับชั้นศิลาแลง อาจจะเป็นรอยต่อที่เด่นชัด หรืออาจจะเป็นรอยต่อที่ดินเหนียวค่อย ๆ เปลี่ยนสภาพเป็นดินเหนียวอ่อนสีเทา มีจุดประสีแดง สีส้ม สีเหลือง ของสารละลายเหล็กออกไซด์ กระจายอยู่ในเนื้อดินเหนียวอย่างไม่เป็นระเบียบ

- ในบางพื้นที่จะเห็นชั้นดินเหนียวสีจาง (pale zone P ในภาพ) อาจมีสีขาวทั้งหมด หรือขาวเป็นบางส่วน และมีกรวดของแร่ควอตซ์ขนาดต่าง ๆ ปะปนอยู่ด้วย ชั้นนี้เกิดจากการที่สารละลายของแร่เหล็ก หรือแมงกานีสออกไซด์ถูกชะล้างออกไป เนื่องจากการเปลี่ยนแปลงระดับน้ำบาดาล กล่าวคือ เมื่อสารละลายของเหล็กเฟอร์ส อยู่ต่ำกว่าระดับน้ำบาดาล บริเวณนั้นจะเกิดสถานะการลดยอกซิเจน สารละลายของเหล็กจะถูกดูดขึ้นไปด้วยแรงดึงดูดระหว่างโมเลกุลตามรูเล็ก ๆ (capillary suction) ในเนื้อตะกอน แล้วตกตะกอนเป็นเหล็ก เฟอร์ริกอยู่ที่เหนือระดับน้ำบาดาลดังกล่าว ในฤดูร้อนจึงเห็นชั้นตะกอนคอนบนมีจุดแต่ในบางพื้นที่เป็นชั้นหินผุ โดยเนื้อหินเดิมผุพังสลายตัวไป แต่โครงสร้างของหินยังคงอยู่ให้สังเกตเห็นได้ แร่ประกอบหินถูกแทนที่ด้วยดินเหนียวและเหล็กออกไซด์ เราเรียกตะกอนลักษณะนี้ว่า แซปโรไลต์ (saprolite S)

-ชั้นล่างสุดถัดจากชั้นแซปโรไลต์ลงไปจะเป็นหินต้นกำเนิด หรือหินดาน [1,3]

2.1.2. ศิลาแลงที่เกิดจากการสะสมตะกอน

ตะกอนในที่นี้หมายถึง เศษหิน กรวดทราย และดินเหนียว หรืออาจเป็นศิลาแลงที่เกิดขึ้นมาก่อนแล้วแตกหักผุพัง ตะกอนเหล่านี้เมื่อผุพัง หรือถูกกัดเซาะหลุดออกจากพื้นที่เดิมก็จะถูกพัดพาไปสะสมตัว ณ ที่ซึ่งอยู่ในระดับต่ำกว่า ดังภาพที่ 11 ต่อจากนั้นกระบวนการเกิดศิลาแลงจากการเปลี่ยนแปลงของอากาศและระดับน้ำบาดาลได้เปลี่ยนแปลงสภาพตะกอนที่ทับถมกันอยู่นั้นให้เป็นศิลาแลง ตะกอนที่ผุพังส่วนมากจะถูกเปลี่ยนสภาพด้วยสารละลายของแร่เหล็ก แต่บางครั้งแร่ควอตซ์และ หินที่มีความต้านทาน อาจจะไม่เหลืออยู่เป็นก้อนกรวดขนาดต่าง ๆ ห่อมล้อมหรือเชื่อมประสานเป็นชั้นแข็งด้วยสารละลายเหล็กและแมงกานีส จึงอาจเรียกชื่อตามลักษณะรูปแบบที่เห็นนี้ว่า ศิลาแลงกรวด (gravelly Laterite) กระบวนการเกิดศิลาแลงที่สำคัญ จึงเป็นการเปลี่ยนแปลงของระดับน้ำบาดาลตามฤดูกาล ในฤดูฝนระดับน้ำที่มีสารละลายของแร่เหล็กจะขึ้นสูงและตกตะกอนอยู่ในระดับบน ฤดูร้อนระดับน้ำบาดาลลด สารละลายของแร่เหล็กที่มีอยู่ในน้ำก็ค่อย ๆ ลดระดับลงมาด้วย และตกตะกอนอยู่เป็นแนวชั้นล่าง (ภาพที่13)ระดับน้ำที่เปลี่ยนแปลงขึ้นลงเช่นนี้ เมื่อเวลาผ่านไปนาน ๆ ก็จะเกิดเป็นชั้นแข็งของศิลาแลง (Harden Laterite or Brickstone)อยู่ ณ บริเวณนั้น[1,3]

เนื่องจากลักษณะทางกายภาพของศิลาแลง(Harden Laterite or Brickstone)นั้นจะไม่เท่ากันทุกก้อน ความสามารถทางวิศวกรรมของก้อนศิลาแลง(Harden Laterite or Brickstone)นั้นจะขึ้นอยู่กับ 3 ปัจจัย ได้แก่

- 1.) องค์ประกอบและปริมาณการตกผลึกของสารที่เป็นองค์ประกอบ
- 2.) การจัดเรียงตัวกันขององค์ประกอบต่างๆ
- 3.) อายุของศิลาแลง(Harden Laterite or Brickstone)[5]

2.2 การทดสอบหาค่าการดูดซึมน้ำของศิลาแลง (Harden Laterite or Brickstone) ABSORPTION TEST OF Harden Laterite or Brickstone [6,7]

การดูดซึมน้ำเข้าไปในศิลาแลง อัตราการซึมของน้ำผ่านศิลาแลง ขึ้นต่อหนึ่งหน่วยเวลา เรียกว่าอัตราการซึมผ่านของน้ำ ความสามารถในการดูดซึมน้ำของตัวอย่างจากความสัมพันธ์ของศิลาแลง

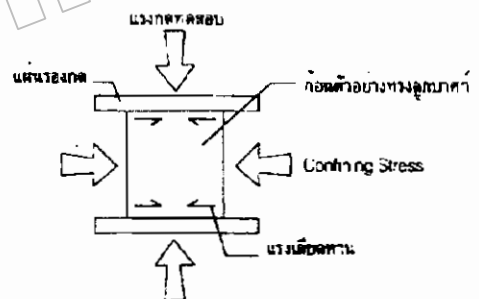
$$\% \text{Absorption of Brickstone} = \frac{(w_2)_{\text{original}} - (w_1)_{\text{oven-dry}}}{(w_1)_{\text{oven-dry}}} \times 100$$

W_1 = dried weight

W_2 = wet weight

2.3 การทดสอบหาค่าแรงอัดของศิลาแลง (Harden Laterite or Brickstone) COMPRESSION TEST OF Harden Laterite or Brickstone [4,6]

โดยทั่วไปแล้วศิลาแลงมักจะนำมาใช้ประโยชน์ 2 ด้าน คือ ใช้ในการทำกำแพง หรือใช้เป็นทางเดิน เมื่คำนึงถึงลักษณะการรับแรงแล้วศิลาแลงจะรับแรงอัดเช่นเดียวกัน เช่นในกรณีของการนำไปทำกำแพงหรือผนัง ศิลาแลงจะรับน้ำหนักจากด้านบนที่ถ่ายลงมา หรือในกรณีของการนำไปทำทางเท้า ก็จะรับน้ำหนักคนที่เดินสัญจรไปมา หรือน้ำหนักบรรทุกอื่น ๆ ดังนั้นในทางวิศวกรรมจึงจำเป็นต้องทราบความสามารถในการรับแรงอัดของศิลาแลงแต่ละประเภท เพื่อให้สามารถนำศิลาแลงไปใช้งานได้ถูกต้องและเหมาะสมกับประเภทของงานนั้น ๆ



รูปที่ 2.5 ลักษณะแรงต้านต่อการแตกด้านข้าง (Confining Stress) ของก้อนตัวอย่างรูปทรงลูกบาศก์

การคำนวณหาค่ากำลังแรงอัด

$$C = \frac{W}{A} \quad (1)$$

C = กำลังแรงอัดของตัวอย่าง ,psi(Mpa)

W = น้ำหนัก ,lbf (N) ที่ตกลงบนตัวอย่าง

จนฟัง

$A =$ พื้นที่ของก้อนตัวอย่างที่นับน้ำหนัก
in² (mm²)

ในกรณีที่ อัตราส่วนความกว้างต่อความ
ยาว ที่ไม่ใช่ 1:1 และแตกต่างกันเกิน 25% หรือ
มากกว่า สามารถคำนวณหาได้จากสมการ [4]

$$C_c = \frac{C_p}{0.778 + 0.222(b/h)} \quad (2)$$

$C_c =$ กำลังอัดของตัวอย่าง

$C_p =$ กำลังอัดตัวอย่างที่ทดสอบ ที่มีความสูง
มากกว่าความกว้าง

$b =$ ความกว้างของก้อนตัวอย่าง

$h =$ ความสูง ของก้อนตัวอย่าง

ในค่าการทดสอบอาจต้องทำหลายตัวอย่าง เพื่อ
ทำให้เกิดความแม่นยำเพิ่มมากขึ้น เพราะวัสดุที่
นำมาทดลองอาจเกิดความคลาดเคลื่อนเนื่องจาก
วัสดุที่นำมาทดลอง

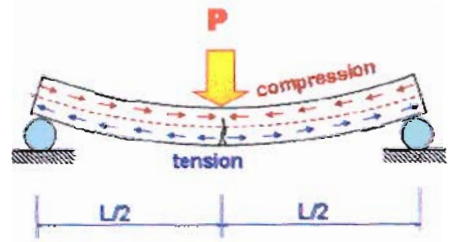
2.4 การทดสอบหาค่าแรงดัดของศิลาแลง (Harden Laterite or Brickstone) FLEXURAL

TEST OF Harden Laterite or Brickstone [6,8]

การทดลองนี้เป็นการทดลองหาค่ารับ
แรงดัดของคอนกรีต โดยทดสอบกับคาน
คอนกรีต ที่วางบน Simple Support (Simple
Beam) และใช้น้ำหนักกระทำแบบ Center -
Point Loading ผลของค่ากำลังต้านทานแรงดัดจะ
อยู่ในรูปของโมดูลัสการแตกร้าว (Modulus of
Rupture) โดยเป็น ค่าหน่วยแรงดึงสูงสุด ณจุด

แตกร้าวในคานที่ทำการทดลอง ซึ่งหาได้จาก

$$f_b = \frac{Mc}{I}$$



รูปที่ 2.6 การให้น้ำหนักกระทำแบบ Center -
Point Loading]

การคำนวณหาค่ากำลังแรงดัด (Modulus
of Rupture)

$$R = \frac{3PL}{2bd^2}$$

เมื่อ

$R =$ โมดูลัสการแตกร้าว (Middle one of Span)

$P =$ น้ำหนักสูงสุด (Maximum Load)

$L =$ ความยาวคาน (Span Length)

$b =$ ความกว้างเฉลี่ยของคาน

$d =$ ความลึกเฉลี่ยของคาน

2.5 การทดสอบหาค่าแรงเฉือนของศิลาแลง (Harden Laterite or Brickstone) SHEAR

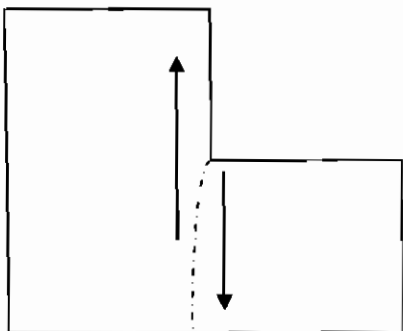
TEST OF Harden Laterite or Brickstone [9]

ในการทดสอบแรงเฉือน เราสนใจคุณสมบัติของ
วัสดุเนื่องจากการกระทำของแรงเฉือน 2 ประเภท

2.5.1 แรงเฉือนโดยตรง (direct shear)

และแรงเฉือนเนื่องจากการบิด (torsional
shear)direct shear เนื่องจากว่าแรงเฉือนในกรณี
นี้เกิดจากการกระทำโดยตรงของแรงเฉือนที่

ตัวอย่างทดสอบ เราจึงเรียกแรงเฉือนในลักษณะนี้ว่า direct shear



รูปที่ 2.7 การทดสอบแรงเฉือนโดยตรง (direct shear)

ซึ่งในกรณีนี้ถ้าสมมุติให้แรงทั้งสองมีระยะเชิงศูนย์กลางที่น้อยมากแล้ว เราจะเห็นได้ว่าตัวอย่างวัสดุทดสอบจะถูกกระทำโดยแรงเฉือนในระนาบเฉือนและหน่วยแรงเฉือนที่เกิดขึ้นบนหน้าตัดของหตุจะหาได้จากสมการ $\tau = P/A$

เมื่อ P เป็นแรงกดอัดที่ A เป็นพื้นที่หน้าตัดของระนาบที่เกิดการวิบัติ

บทที่ 3

วิธีการทดสอบ

ในโครงการบทนี้กล่าวถึงวัสดุอุปกรณ์ที่ใช้และ วิธีการเตรียมตัวอย่างรวมทั้งกรรมวิธีกระบวนการทดสอบการรับกำลังอัดของศิลาแลงและการดูดซึมน้ำของศิลาแลง

3.1 การทดสอบการดูดซึมน้ำของศิลาแลง (ABSORPTION TEST OF HARDEN LATERITE OR BRICKSTONE)[6]

3.1.1 วัสดุตัวอย่างที่ใช้ในการทดลอง

3.1.1.1 ศิลาแลงสำหรับทดสอบ ขนาด 7 ซม. x 7 ซม. x 7 ซม. จำนวน 15 ก้อน

3.1.1.2 น้ำสะอาด

3.1.2 เครื่องมือและอุปกรณ์การทดลอง

3.1.2.1 เครื่องมือชั่งละเอียด

3.1.2.2 เครื่องมือวัด อาทิ คลิปเมตร, ไม้บรรทัดเหล็ก

3.1.2.3 คู่มือไฟฟ้าควบคุม อุณหภูมิได้ 110 องศาเซนเซียส

3.1.2.4 กาชนะที่สามารถแช่ตัวอย่าง

3.1.2.5 ผ้าเนื้อนุ่มซับน้ำ (ควรเป็นผ้าที่ซับน้ำได้ดี)

3.1.3 วิธีการทดสอบ

3.1.3.1 คัดเลือกขนาดตัวอย่างที่ใช้ทดสอบจำนวนตัวอย่างละ 15 ก้อน โดยเลือกขนาดก้อนที่สมบูรณ์มากที่สุด

3.1.3.2 วัดขนาด และชั่งตัวอย่างพร้อมทำสัญลักษณ์ หรือหมายเลขไว้ใน

แต่ละชุดตัวอย่างเพื่อป้องกันข้อมูล
คลาดเคลื่อน

3.1.3.3 นำตัวอย่างมาแช่ในภาชนะที่มีน้ำ
กลั่น (ในการทดสอบอาจใช้น้ำสะอาด
ทดแทนได้) โดยแช่ให้ท่วมก้อนศิลาแลง
ตัวอย่าง แช่ทิ้งไว้ 24 ชั่วโมง

3.1.3.4 นำตัวอย่างที่แช่ครบกำหนด
ในข้อ 3 นำขึ้นจากน้ำ นำผ้าขนหนูซับน้ำ
ในแต่ละก้อนตัวอย่างให้แห้งซึ่งอยู่ใน
ลักษณะอิมตัวผิวแห้ง แล้วนำมาชั่งในแล้ว
เสร็จภายใน 5 นาทีหลังจากที่ซับน้ำแล้ว
เสร็จ

3.1.3.5 นำตัวอย่างที่ผ่านขั้นตอนใน
ข้อ 4 นำเข้าตู้อบไฟฟ้าปรับอุณหภูมิ 110
องศาเซนเซียส ใช้เวลาในการอบเป็นเวลา
24 ชั่วโมง แล้วจึงนำออกมาชั่งน้ำหนักใน
แต่ละก้อนตัวอย่าง เป็นอันแล้วเสร็จ
ขั้นตอนการทดสอบ

เปอร์เซ็นต์ การดูดซึมน้ำ ของศิลา

แลง

ยกตัวอย่างรายการคำนวณ ตัวอย่างที่ 1

$$\% \text{Absorption} = \frac{(w_2)_{\text{original}} - (w_1)_{\text{oven dry}}}{(w_1)_{\text{oven dry}}} \times 100$$

$$\% \text{ Absorption} =$$

$$\frac{785.7 - 729.3}{729.3} \times 100 = 7.73 \%$$

$$\% \text{ Absorption Average} = 7.19 \%$$

3.2 การทดสอบหาค่าแรงอัดของศิลาแลง

(Harden Laterite or Brickstone)

COMPRESSION TEST OF Harden Laterite
or Brickstone [6]

3.2.1 วัสดุตัวอย่างที่ใช้ในการทดลอง

3.1.1.1 ศิลาแลงสำหรับ

ทดสอบขนาด 15 ซม. x 15 ซม.

x 15 ซม. จำนวน 20 ก้อน

3.2.2 อุปกรณ์การทดสอบ

3.2.2.1 เครื่อง ทดสอบกำลังอัด

3.2.2.2 เครื่องมือชั่งที่สามารถ

อ่านได้ละเอียดถึง 0.01 กรัม

3.2.2.3 เครื่องมือวัดความยาว

หรือไม้บรรทัดเหล็ก

3.2.3 ลำดับขั้นการทดลอง

3.2.3.1 นำศิลาแลงที่เตรียมไว้

จำนวน 20 ก้อน ชั่งน้ำหนัก และวัดขนาด

3.2.3.2 นำก้อนตัวอย่างที่เตรียม

ไว้ มาทดสอบเข้าเครื่องกดคอนกรีต

3.2.3.4 บันทึกผลการทดลอง

ของแรงที่ทำให้ก้อนศิลาแตกวิบัติ

รายการคำนวณ ยกตัวอย่างที่ 1

$$\text{Stress} = \frac{F}{A} = \frac{18100}{22500} = 0.458 \text{ Mpa}$$

$$\text{Strain} = \frac{\Delta L}{L_o} = 0.003 \text{ mm}$$

$$\text{Stress Max Average} = 3.56 \text{ Mpa}$$

3.3 การทดสอบหาค่าแรงค้ำของศิลาแดง (Harden Laterite or Brickstone) FLEXURAL STRENGTH OF Harden Laterite or Brickstone [6,8]

3.3.1 วัสดุที่ใช้ทดสอบ

ศิลาแดงขนาด 7 ซม. x 7 ซม. x 50 ซม.

จำนวน 20 ก้อน

3.3.2 อุปกรณ์ที่ใช้ในการทดสอบ

3.3.2.1 เครื่องทดสอบ Universal Testing
Machine

3.3.2.2 เครื่องมือชั่งที่สามารถอ่านได้
ละเอียดถึง 0.01 กรัม

3.3.2.3 Support พร้อมทั้งนำแท่นกด
ด้านบน วางบนกึ่งกลางและแท่นกด

3.3.2.4 เครื่องมือวัด

3.3.3 วิธีการทดสอบ

3.3.3.1 นำแท่งตัวอย่างมาซึ่ง
น้ำหนัก วัดขนาดก้อนตัวอย่าง จดบันทึก
ไว้

3.3.3.2 ติดตั้ง Support เข้ากับ
เครื่องทดสอบ โดยมีระยะห่าง (Span
Length) 45 เซนติเมตร

3.3.3.3 วางตัวอย่างลงบน
Support พร้อมทั้งนำแท่นกดด้านบน วาง
บนกึ่งกลางช่วง Span คานให้น้ำหนักกด
อย่างสม่ำเสมอระวังอย่าให้เกิดการ
กระแทก ในช่วงแรกให้น้ำหนักกดอย่าง
รวดเร็วจนถึงประมาณ 50 % ของ
น้ำหนักสูงสุด แล้วจึงให้น้ำหนักกดใน
อัตราที่ทำให้เกิด Fiber Stress ไม่เกิน
10.8 กิโลกรัมต่อตารางเซนติเมตรต่อ
วินาทีจนกระทั่งก้อนตัวอย่างพัง

3.3.3.4 บันทึกค่าน้ำหนักสูงสุด
และส่วนต่าง ๆ ของตัวอย่าง เช่นความ
กว้าง ความลึก ของส่วนที่พังเพื่อนำไป
คำนวณค่ากำลังค้ำ พร้อมทั้งวาด
รูปลักษณะการพังของตัวอย่างการ
ทดสอบ

รายการคำนวณตำแหน่งหน้าตัดที่
วิบัติกำลังรับแรงค้ำหรือ โมดูลัสการแตกหักจาก
สมการดังนี้

$$\sigma_f = \frac{Mc}{I} = \frac{3PL}{2bh^2}$$

รายการคำนวณ ยกตัวอย่างตัวอย่าง
ทดสอบที่ 1

$$\sigma_f = \frac{3PL}{2bh^2} = \frac{3(4540)(450)}{2(96.9)(154.9^2)}$$

3.4 การทดสอบหาค่าแรงเฉือนของศิลาแดง (Harden Laterite or Brickstone)

SHEREFORCE TEST OF Harden Laterite or Brickstone [6,8,10]

3.4.1 วัสดุที่ใช้ทดสอบ

ก้อนศิลาแดงขนาด 7 ซม. x 7 ซม. 5 ซม. ดังรูปที่

3.4.2 อุปกรณ์ที่ใช้ในการทดสอบ

3.4.2.1 เครื่องทดสอบ

Universal Testing Machine

3.4.2.2 เครื่องมือชั่งที่สามารถ

อ่านได้ละเอียดถึง 0.01 กรัม

3.4.2.3 เครื่องมือวัด

3.4.2.4 เครื่องมือทดสอบแรงเฉือน

3.4.3 วิธีการทดลอง

3.4.3.1 วัดขนาดหน้าตัดที่จะทำการ

ทดสอบแรงเฉือนทดสอบด้วย Vernier Caliper
พร้อมทั้งบันทึกค่าไว้

3.4.3.2 นำตัวอย่างไปใส่ในชุดทดสอบ

แรงเฉือน (Shear Tool) สำหรับทดสอบแบบแรง
เฉือน

3.4.3.3 นำชิ้นตัวอย่างใส่ในเครื่อง

ทดสอบ Universal Testing Machine โดยให้หัว
จับสัมผัสกับ ชุดทดสอบแรงเฉือน (Shear Tool)

3.4.3.4 ให้น้ำหนักกดลงอย่างช้า ๆ

จนกระทั่งเกิดการแตกหัก

3.4.3.5 บันทึกแรงที่กระทำบนพื้นที่ค่าแรง

สูงสุดและลักษณะของการขาดออกจากกันของ
ชิ้นทดสอบ

ตัวอย่างการคำนวณ ตัวอย่างที่ 1

Shear Strength of ศิลาแดง

$$\text{Shear Strength} = \frac{\text{Load}}{\text{Area}} = \frac{1010}{1497} = 0.68 \text{ Mpa}$$

บทที่ 4

ผลการทดสอบและวิเคราะห์ผลการทดลอง

บทนี้กล่าวถึงผลการทดสอบและวิเคราะห์ผลที่ได้จากการทดสอบ ประกอบด้วยคุณสมบัติทางกายภาพของศิลาแลง ซึ่งได้แก่สี การวิเคราะห์คุณสมบัติของศิลาแลง ได้แก่ กำลังอัด, การดูดซึมน้ำกำลังรับแรงดัดและกำลังรับแรงเฉือน

ลักษณะทั่วไป

ศิลาแลงเกิดขึ้นได้ในสภาพภูมิอากาศร้อนชื้น ฝนตกมาก แต่แล้งนานด้วยในฤดูฝนน้ำใต้ดินมีระดับสูง ทำให้ท่วมตอบนของชั้นดิน (ซึ่งต่อไปกลายเป็นศิลาแลง) ระหว่างนั้นน้ำฝนจะละลายเอาสารประกอบอะลูมิเนียม ออกไซด์เอาไว้เมื่อถึงหน้าแล้ง น้ำใต้ดินลดระดับต่ำลง ก็พาเอาสารประกอบอะลูมิเนียมลงไปสู่ที่ต่ำ เวลานานเข้า วัสดุบริเวณด้านบนจึงมีสารประกอบเหล็กออกไซด์มากขึ้น และมักรวมกันเป็นกลุ่ม จึงเกิดเป็นโพรงว่างเป็นทางให้น้ำใต้ดินซึมขึ้นลง ได้ง่ายขึ้น และชะสารประกอบอะลูมิเนียมออกไซด์ออกไปเร็วด้วย ทำให้ศิลาแลงมีลักษณะเด่น คือ มีรูพรุนทั่วไป และเนื้อเป็นสารประกอบเหล็กออกไซด์มากกว่าอะลูมิเนียมออกไซด์[2]

ศิลาแลงที่เกิดจากการสะสมตะกอน

ตะกอนในที่นี้หมายถึง เศษหินกรวด ทราย และดินเหนียว หรืออาจเป็นศิลาแลงที่เกิดขึ้นมาก่อนแล้วแตกหักผุพัง ตะกอนเหล่านี้เมื่อผุพัง หรือถูกกัดเซาะหลุดออกจากพื้นที่เดิมก็

จะถูกพัดพาไปสะสมตัว ณ ที่ซึ่งอยู่ในระดับต่ำกว่า ดังภาพที่ 11 ต่อจากนั้นกระบวนการเกิดศิลาแลงจากการเปลี่ยนแปลงของอากาศและระดับน้ำบาดาล ได้เปลี่ยนแปลงสภาพตะกอนที่ทับถมกันอยู่นั้นให้เป็นศิลาแลง ตะกอนที่ผุพังส่วนมากจะถูกเปลี่ยนสภาพด้วยสารละลายของแร่เหล็ก แต่บางครั้งแร่ควอตซ์และ หินที่มีความต้านทาน อาจจะไม่เหลืออยู่เป็นก้อนกรวดขนาดต่าง ๆ ห่อหุ้มหรือเชื่อมประสานเป็นชั้นแข็งด้วยสารละลายเหล็กและแมงกานีส จึงอาจเรียกชื่อตามลักษณะรูปแบบที่เห็นนี้ว่า ศิลาแลงกรวด (gravelly Laterite) กระบวนการเกิดศิลาแลงที่สำคัญ จึงเป็นการเปลี่ยนแปลงของระดับน้ำบาดาลตามฤดูกาล ในฤดูฝนระดับน้ำที่มีสารละลายของแร่เหล็กจะขึ้นสูงและตกตะกอนอยู่ในระดับบน ฤดูร้อนระดับน้ำบาดาลลด สารละลายของแร่เหล็กที่มีอยู่ในน้ำก็ค่อย ๆ ลดระดับลงมาด้วย และตกตะกอนอยู่เป็นแนวชั้นล่าง (ภาพที่13)ระดับน้ำที่เปลี่ยนแปลงขึ้นลงเช่นนี้ เมื่อเวลาผ่านไปนาน ๆ ก็จะเกิดเป็นชั้นแข็งของศิลาแลง (Harden Laterite or Brickstone) อยู่บริเวณนั้น[1,3]

ค่าความถ่วงจำเพาะปกติของศิลาแลง จะมีค่าอยู่ที่ 2.55 []

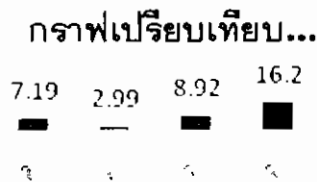
การดูดซึมน้ำของศิลาแลง (ABSORPTION TEST OF HARDEN LATERITE OR BRICKSTONE)[6]

ค่าการดูดซึมน้ำที่เฉลี่ยมาจากก้อนตัวอย่างที่ทำการทดลองจำนวนทั้งหมด 15

ก่อนมีเปอร์เซ็นต์การดูดซึมน้ำ = % Absorption

Average = 7.19 %

ข้อมูลการเปรียบเทียบของการดูดซึมน้ำของศิลาแลง กับวัสดุที่แตกต่างกัน



รูปที่ 4.1 เปรียบเทียบ % Absorption

จากรูปที่จะเห็นว่าวัสดุที่มีความทึบ น้ำคือน้ำคือคอนกรีตและถ้าเปรียบเทียบกับ วัสดุที่จะนำมาใช้งานในลักษณะเดียวกัน ได้แก่ ศิลาแลง อิฐบล็อก และ อิฐแดงจะพบว่า วัสดุที่มีความทึบน้ำได้คือน้ำคือ ศิลาแลง ซึ่ง เปอร์เซ็นต์การดูดซึมน้ำน้อยก็จะทำให้วัสดุ นั้นมีความระเหิดตามเปอร์เซ็นต์ร้อยละของ วัสดุนั้นๆวัสดุที่มีความระเหิดมาก ก็จะทำให้ วัสดุนั้นมีความแข็งแรงขึ้นด้วย

การทดลองการรับกำลังอัดของก้อน ศิลาแลง (Compression Test Harden Laterite or Brickstone) จำนวน 20 ตัวอย่าง ได้ผลดังนี้

ในความสัมพันธ์ระหว่าง Stress กับ Strain ของการทดสอบ Compress Test ยังได้ค่า Modulus of Elasticity

การทดสอบหาค่าแรงดัดของศิลาแลง (Harden Laterite or Brickstone) FLEXURAL STRENGTH OF Harden Laterite or Brickstone [6,8]

รายการคำนวณตำแหน่งหน้าตัดที่วิบัติ กำลังรับแรงดัดหรือโมเมนต์การแตกหักจาก สมการดังนี้

$$\sigma_f = \frac{Mc}{I} = \frac{3PL}{2bh^2}$$

รายการคำนวณ ยกตัวอย่างตัวอย่าง ทดสอบที่ 1

$$\sigma_f = \frac{3PL}{2bh^2} = \frac{3(4540)(450)}{2(96.9)(154.9^2)} = 1.05 \text{ MPa}$$

Stress Max Average = 0.13 MPa

การทดสอบหาค่าแรงเฉือนของศิลาแลง (Harden Laterite or Brickstone) SHEREFORCE TEST OF Harden Laterite or Brickstone [6,8,10]

ตัวอย่างการคำนวณ ตัวอย่างที่ 1

Shear Strength of ศิลาแลง

$$\text{Shear Strength} = \frac{\text{Load}}{\text{Area}} = \frac{1010}{1497} = 0.68 \text{ MPa}$$

Shear Strength Average = 0.69 MPa

บทที่ 5 สรุป

จากรูปที่ 4.1 ในส่วนของผนังถ้ำนำศิลา
แลงมาทำผนัง ศิลาแลงจะสามารถดูดซึมน้ำได้
น้อยที่สุด ไม่นับคอนกรีต ส่วนข้อเสียของศิลาแลง
คือศิลาแลงเป็นวัสดุที่เกิดจากธรรมชาติก่อนที่จะ
นำมาใช้งานได้จะต้องนำมาบดแต่งเพื่อให้เข้ากับ
ลักษณะงานก่อนเพื่อความสะดวกรวดเร็วในการ
ใช้งาน

จากผลการทดลองพบว่า ศิลาแลงมีค่า
กำลังอัดมากพอที่จะนำมาใช้เป็นส่วนของผนัง
อาคารที่รับน้ำหนักของหลังคาได้ แต่ไม่เหมาะ
ที่ใช้เป็นส่วนของอาคารที่รับ โมเมนต์ค้ด ทั้งนี้
หน่วยแรงค้ดสูงสุด โดยเฉลี่ยมีค่าอยู่ระหว่างร้อยละ
0.57-3.7 ส่วนกำลังเฉือนของศิลาแลงที่
ทดสอบพบว่ามีค่าค่อนข้างสูงทำให้การใช้งานใน
การก่อสร้างมีความเหมาะสม